

Interaktive Computergrafik

Vorlesung im Sommersemester 2017

Kapitel 4: Precomputed Radiance Transfer

Prof. Dr.-Ing. Carsten Dachsbacher
Lehrstuhl für Computergrafik
Karlsruher Institut für Technologie



Motivation



- ▶ Ziel: realistische, globale Beleuchtung in Echtzeitanwendungen
 - ▶ herkömmliche Methoden (Vorlesung: Photorealistische Bildsynthese) sind nicht schnell genug sind
 - ▶ Bildraum-Approximationen meist nur für räumlich begrenzte Effekte
- ▶ in diesem Kapitel lernen wir ein Verfahren kennen, das den **Lichttransport vorberechnet** und geschickt speichert
 - ▶ **Lichttransport** \neq Lösung („Farbe“) der Transportgleichung



Motivation



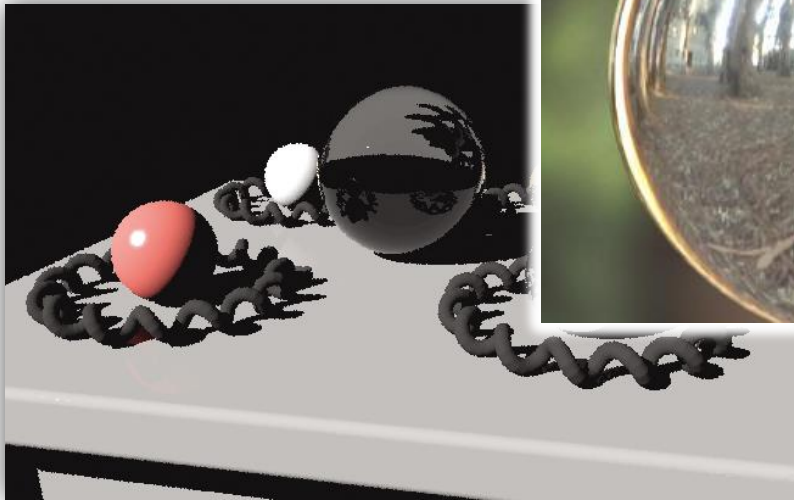
- ▶ bei der Vorberechnung (von Lichttransport) gibt es Trade-Offs zwischen
 - ▶ Aufwand bei der Vorberechnung,
 - ▶ Aufwand zur Laufzeit und
 - ▶ Speicherverbrauch
- ▶ Vorberechnung bedeutet: irgendetwas ist statisch
 - ▶ z.B. Lightmaps für diffuse Flächen: alles statisch, nur die Kamera nicht
 - ▶ in diesem Kapitel: nur die Geometrie ist statisch (vorerst)



Motivation

Image-based Lighting

- ▶ aufgenommene reale Beleuchtung für synthetische Objekte
- ▶ Beleuchtung durch (dynamische) Umgebung



synthetische Objekte und Beleuchtung

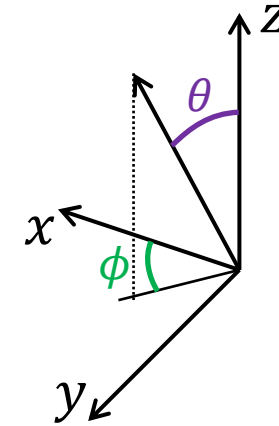


synthetische Objekte und „echtes“ Licht

Image-based Lighting

Was kennen wir schon? Environment Mapping

- ▶ Textur speichert reflektiertes Licht für alle Richtungen: $P(\theta, \phi, x_c, y_c, z_c)$



- ▶ berechne Reflexionsvektor und schlage in Textur nach

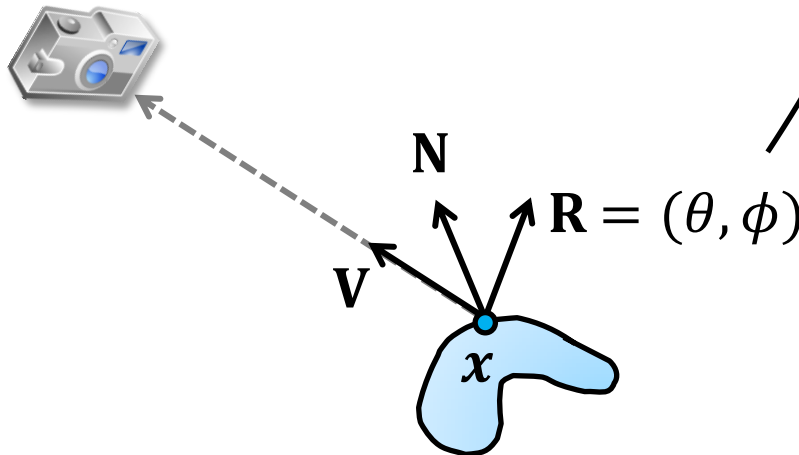


Image-based Lighting

Vorgefilterte Environment Maps

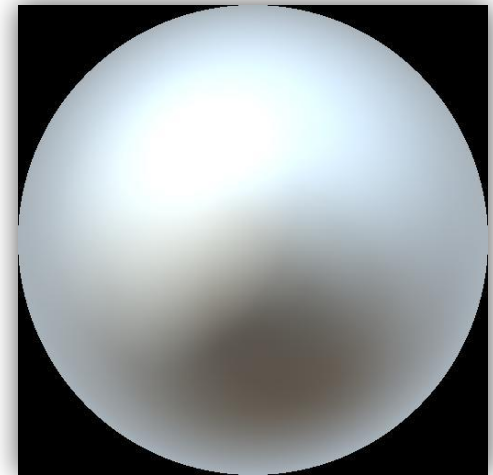
- ▶ einfach und schnell zu verwenden
- ▶ Approximation verschiedener BRDFs
- ▶ aber: keine lokale Verschattung, keine Interreflexion



nicht vorgefiltert:
spiegelnde Objekte
(Zugriff mit \mathbf{r})



vorgefiltert für
imperfekte Spiegelung
(Zugriff mit \mathbf{r})



vorgefiltert für
diffuse Reflexion
(Zugriff mit \mathbf{n})

Ziel/Inhalt dieses Kapitels



- ▶ zunächst: **effiziente** Beleuchtung von **diffusen** (und moderat spiegelnden) Flächen durch **Environment Maps**
 - ▶ mit Verschattung, indirekter Beleuchtung, Transluzenz, ...
 - ▶ weit verbreitet in vielen interaktiven Anwendungen und Spielen (z.B. Halo 3, Crysis 2, von Activision), Basis für div. Rendering-Techniken



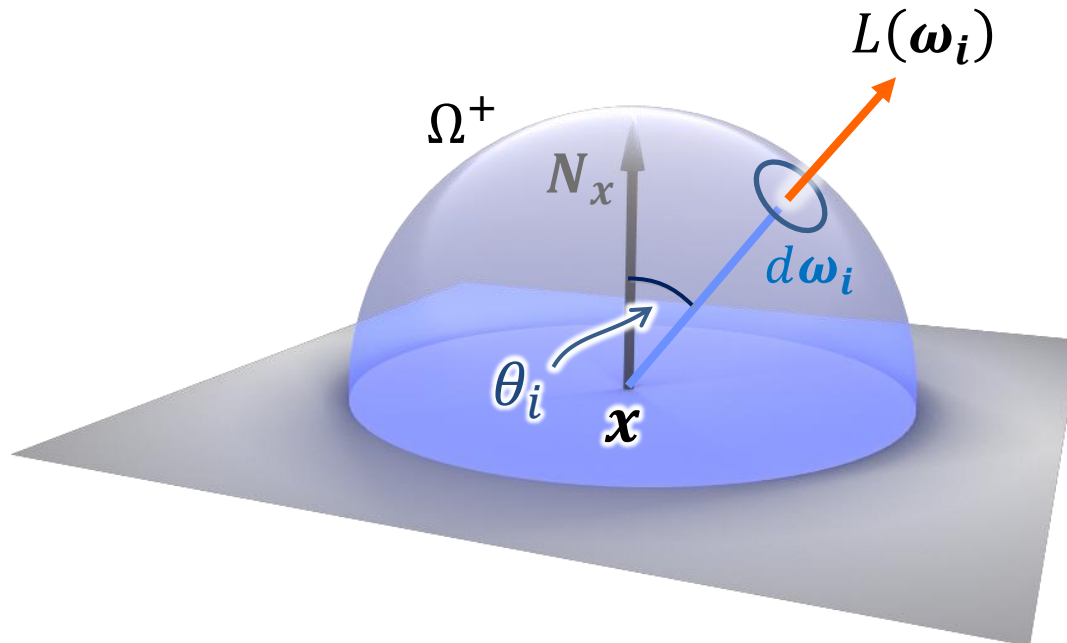
Ground-Truth, Reflexionsintegral



- ▶ Licht erreicht Oberflächen aus allen Richtungen (= Environment Map)
- ▶ reflektiertes **direktes** Licht an Oberflächenpkt. \mathbf{x} aufgrund EnvMap $L(\omega_i)$

$$L_r(\mathbf{x}, \omega_r) = \int_{\Omega} f_r(\omega_i, \mathbf{x}, \omega_r) V(\mathbf{x}, \omega_i) L(\omega_i) |\cos \theta_i| d\omega_i$$

- ▶ Ω ist die Menge aller Richtungen: wg. Transparenz auch Richtungen unterhalb der Fläche (dann ist f_r eine BSDF statt einer BRDF), aber wir beschränken uns zunächst auf Reflexion



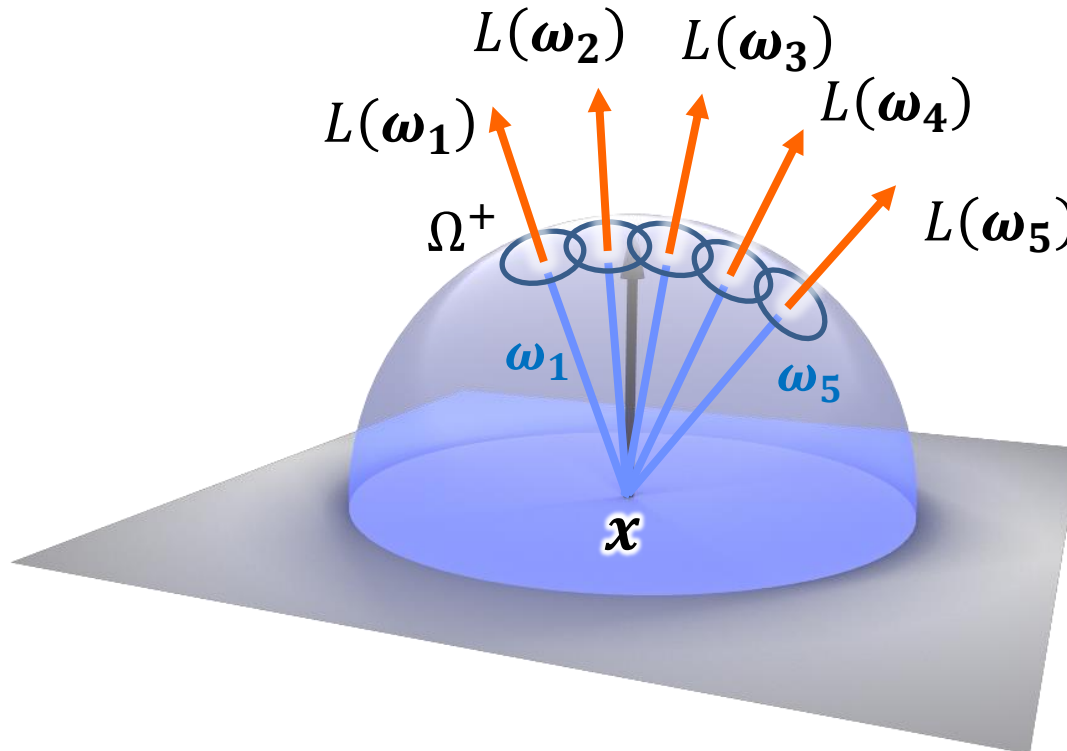
Ground-Truth, Reflexionsintegral



- ▶ Licht erreicht Oberflächen aus allen Richtungen (= Environment Map)
- ▶ Monte-Carlo Integration mit N uniform-verteilten Richtungen $\omega_i \in \Omega$

$$L_r(\mathbf{x}, \omega_r) \approx \frac{4\pi}{N} \sum_{i=1}^N f_r(\omega_i, \mathbf{x}, \omega_r) V(\mathbf{x}, \omega_i) L(\omega_i) |N_x \cdot \omega_i|$$

- ▶ hier im Bild für die positive Hemisphäre Ω^+



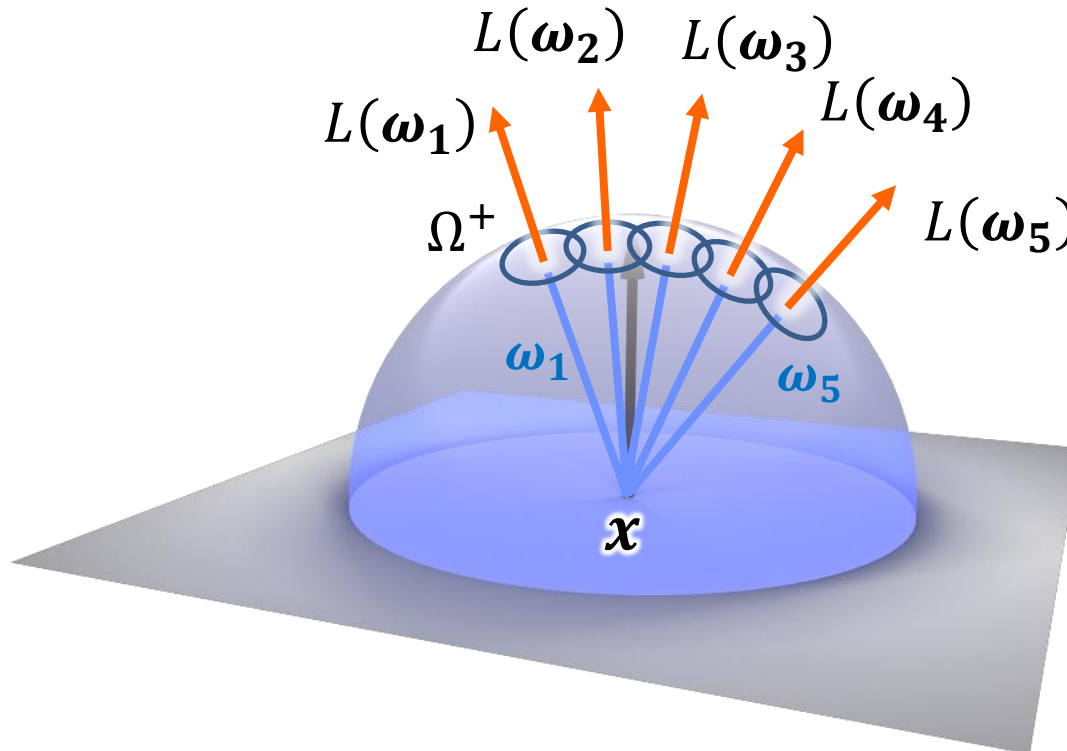
Ground-Truth, Reflexionsintegral



- ▶ Licht erreicht Oberflächen aus allen Richtungen (= Environment Map)
- ▶ Monte-Carlo Integration mit N uniform-verteilten Richtungen $\omega_i \in \Omega^+$

$$L_r(\mathbf{x}, \omega_r) \approx \frac{2\pi}{N} \sum_{i=1}^N f_r(\omega_i, \mathbf{x}, \omega_r) V(\mathbf{x}, \omega_i) L(\omega_i) (\mathbf{N}_x \cdot \omega_i)$$

- ▶ hier im Bild für die positive Hemisphäre Ω^+



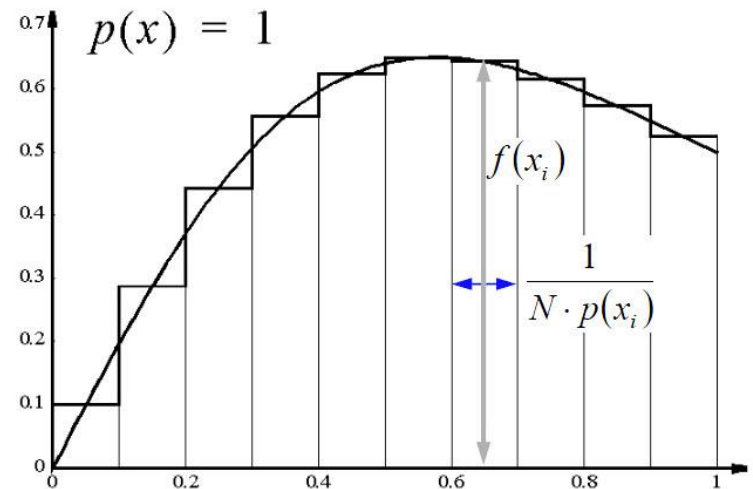
Monte Carlo Integration



Anschauliche Interpretation

- ▶ Monte Carlo Integration: numerische Integration mit Zufallszahlen
- ▶ das bestimmte Integral entspricht der Fläche unter der Kurve im Intervall
- ▶ man unterteilt die Fläche in Rechtecke der Höhe $f(x)$ und der Breite $\frac{1}{Np(x)}$
 - ▶ sind die Samples an einer Stelle dichter, dann ist die Breite des Rechtecks entsprechend schmaler

$$\int_a^b f(x) dx \approx \frac{1}{N} \sum_{i=1}^N \frac{f(x_i)}{p(x_i)}$$



Monte Carlo Integration



Beispiel

▶ berechne $I = \int_0^1 5x^4 dx = 1$

▶ naïve Monte Carlo Integration mit $N = 1 \dots 1000$

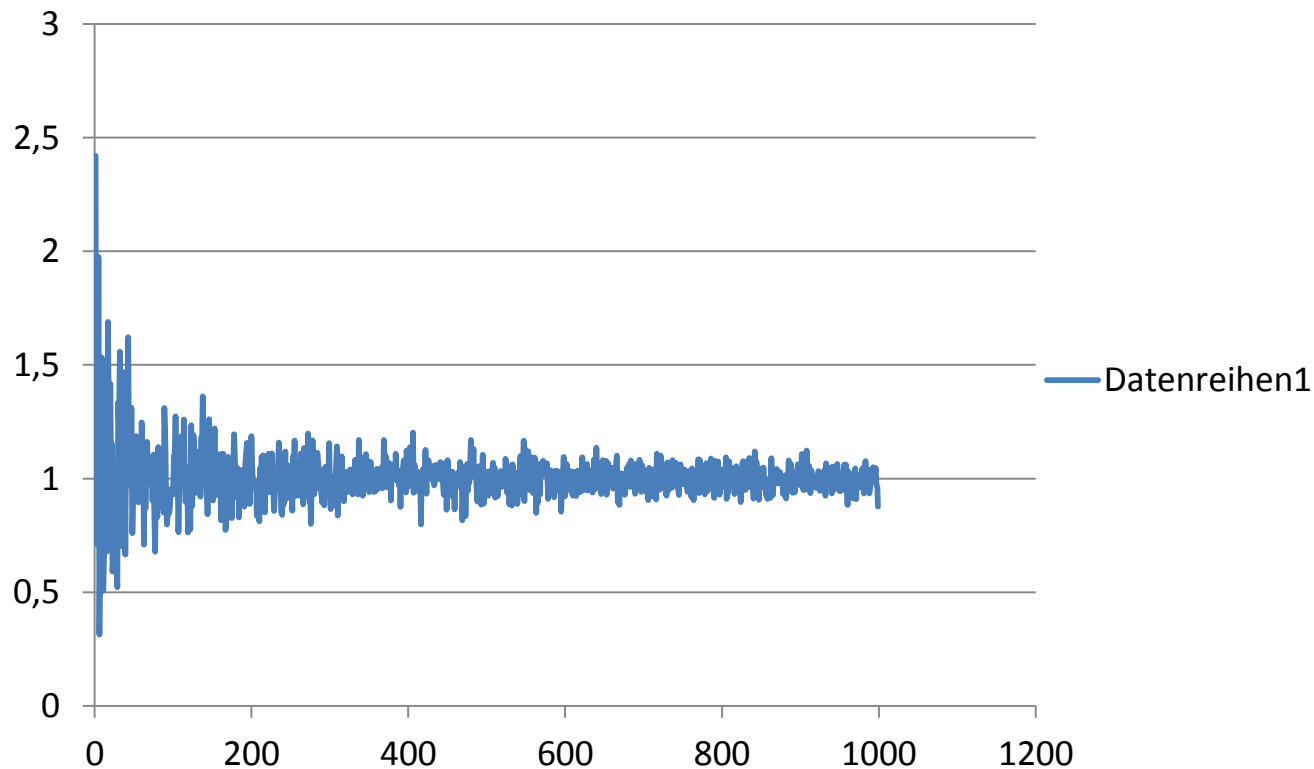
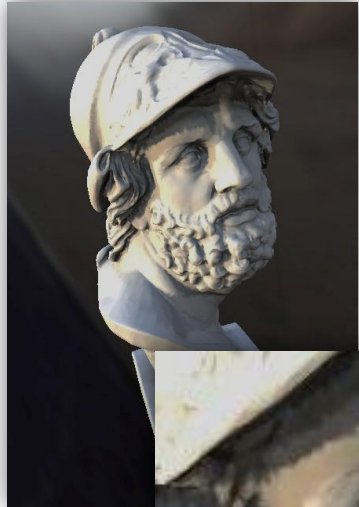
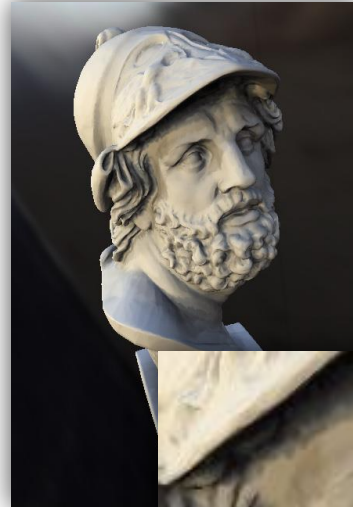


Image-based Lighting

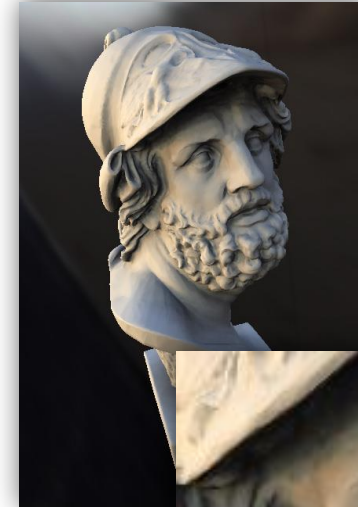
- ▶ Berechnung teuer, da N entsprechend groß sein muss...



$N = 32$



$N = 64$



$N = 256$



- ▶ Idee des **Precomputed Radiance Transfer**
 - ▶ berechne und speichere wie die **Helligkeit** eines Oberflächenpunkts von der **Beleuchtung** und der gesamten **Geometrie** abhängt
 - ▶ oder: „wie einfallendes Licht in reflektiertes Licht umgewandelt wird“
- ▶ benötigt besser geeignete Darstellung von Beleuchtung und Reflexion

Precomputed Radiance Transfer



Grundidee einfacher Fall: diffuse BRDF, direkte verschattete Beleuchtung

- ▶ diffuse BRDF bedeutet $f_r(\omega_i, \mathbf{x}, \omega_r) = \text{const}$
- ▶ Beleuchtung durch eine EnvMap $L(\omega_i)$
- ▶ Sichtbarkeitsfunktion $V(\mathbf{x}, \omega_i)$
- ▶ reflektiertes Licht am Oberflächenpunkt \mathbf{x} ist:

$$L_r(\mathbf{x}, \omega_r) = \underbrace{k_d(\mathbf{x})}_{\text{Albedo/BRDF}} \cdot \int_{\Omega} \underbrace{V(\mathbf{x}, \omega_i) \cdot \max(0, \cos \theta_i)}_{\text{Transferfunktion}} \cdot \underbrace{L(\omega_i)}_{\text{direkte Beleuchtung}} d\omega_i$$

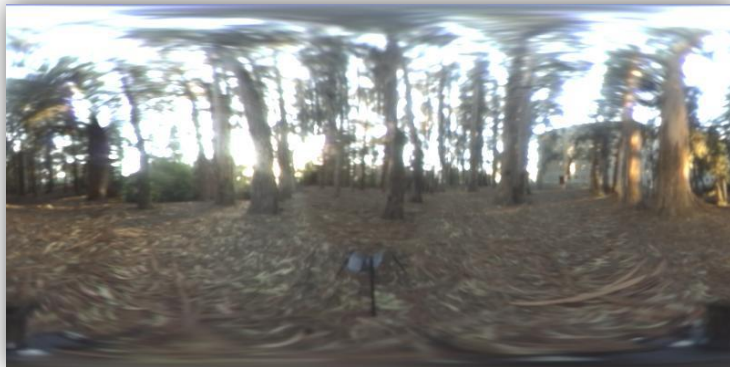
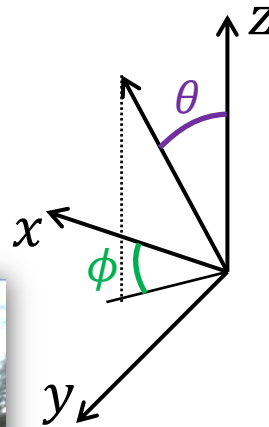
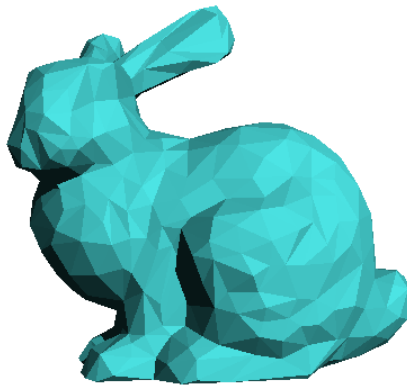
- ⇒ Ziel: Darstellung der Transferfunktion und Beleuchtung so, dass das Integral schnell berechnet werden kann!
(Transferfunktion ist abhängig vom Ort \mathbf{x} auf der Oberfläche)

Precomputed Radiance Transfer

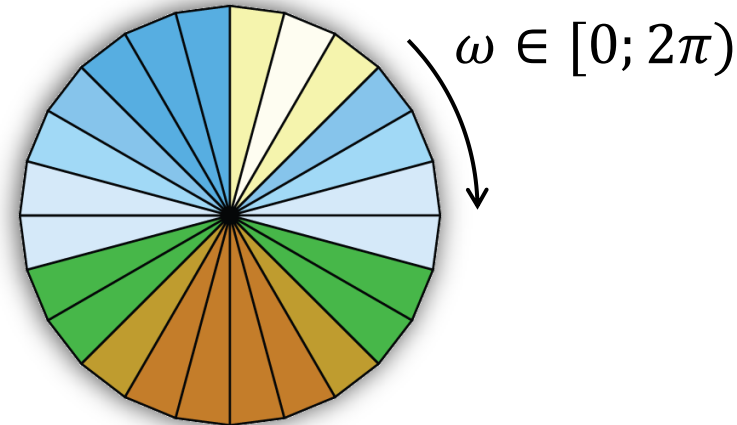
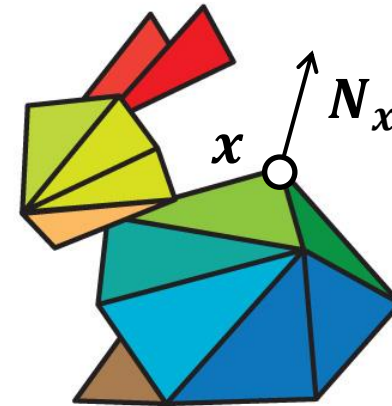
Idee in „Flatland“ (2D) und Definitionen

- ▶ Oberflächenpunkte für die wir etwas vorberechnen sind typischerweise Vertices eines Dreiecksnetzes
- ▶ Vorbereitung der Reflexion (abh. von Orientierung) und Verschattung

3D



2D

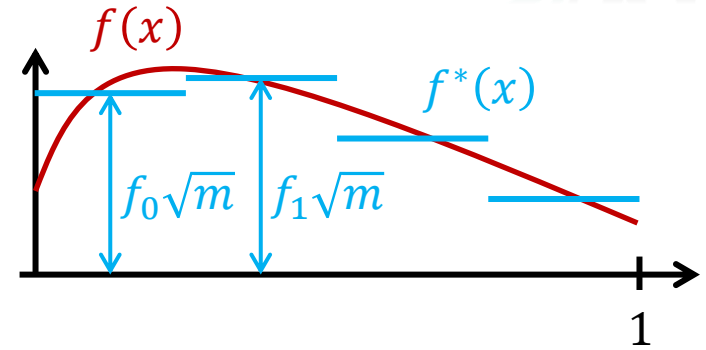


Hintergrund: Projektion von Funktionen



- ▶ jede Funktion $f(x)$ kann durch einen Satz von geeigneten Basisfunktionen $B_k(x)$ und Koeffizienten $\{f_k\}$ dargestellt/approx. werden

$$f(x) \approx f^*(x) = \sum_{k=1}^m f_k B_k(x)$$



- ▶ Beispiel:

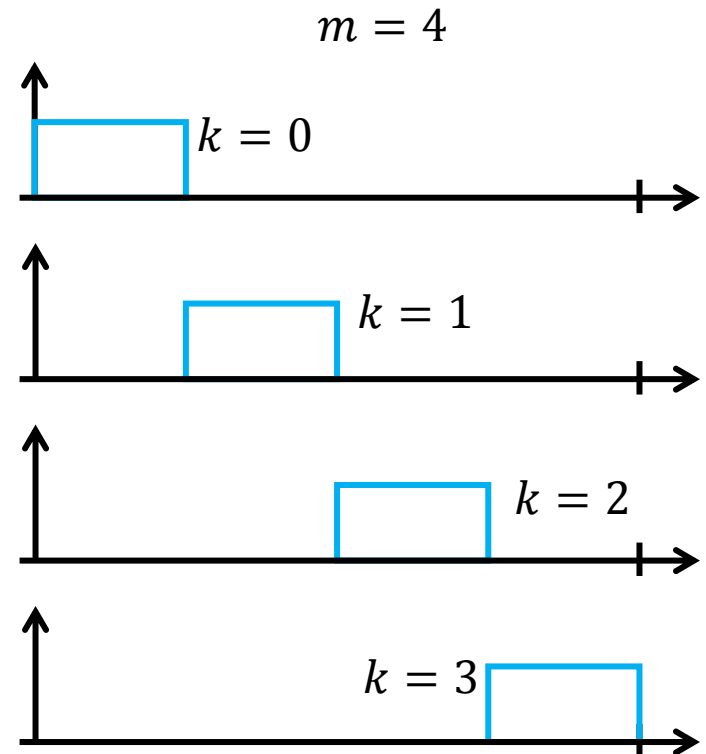
- ▶ stückweise-konstante Basis mit $x \in [0; 1)$

$$B_k(x) = \begin{cases} \sqrt{m} & k/m \leq x < (k+1)/m \\ 0 & \text{else} \end{cases}$$

- ▶ wie berechnet man $\{f_k\}$?

$$f_k = f \cdot B_k = \int_0^1 f(x) B_k(x) dx$$

(wenn $B_k(x)$ orthonormale Basis ist)



Hintergrund: Projektion von Funktionen



Berechnung der Koeffizienten

- ▶ geg. B_k und f , was sind die Koeffizienten f_k ?
- ▶ Basisfunktionen spannen einen Vektorraum auf, ein **Skalarprodukt** ist ebenfalls **für Funktionen** definiert:

$$f, g: [a; b] \rightarrow \mathbb{R}$$

$$f \cdot g = \int_a^b f(x)g(x)dx$$

- ▶ (in einem geometrischen Vektorraum würden wir die Koeffizienten bzgl. einer Basis durch das Skalarprodukt berechnen – genauso auch hier!)
- ▶ wir interessieren uns für **orthonormale** Basen, in diesem Fall gilt
 - ▶ $B_i \cdot B_j = 0 \iff i \neq j$ und
 - ▶ $B_i \cdot B_j = 1 \iff i = j$
 - ▶ nur dann können wir Koeffizienten direkt berechnen mit $f_k = f \cdot B_k$

Precomputed Radiance Transfer



Environment Map und Basis in Flatland

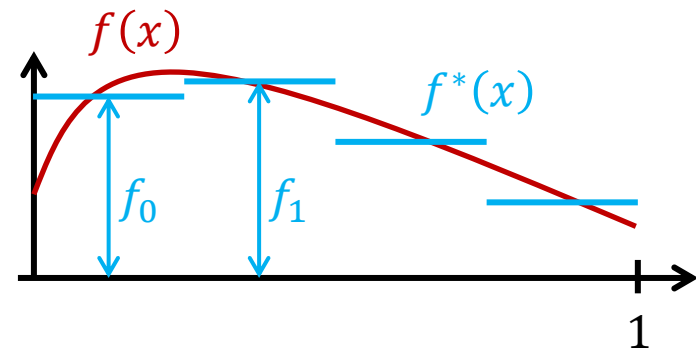
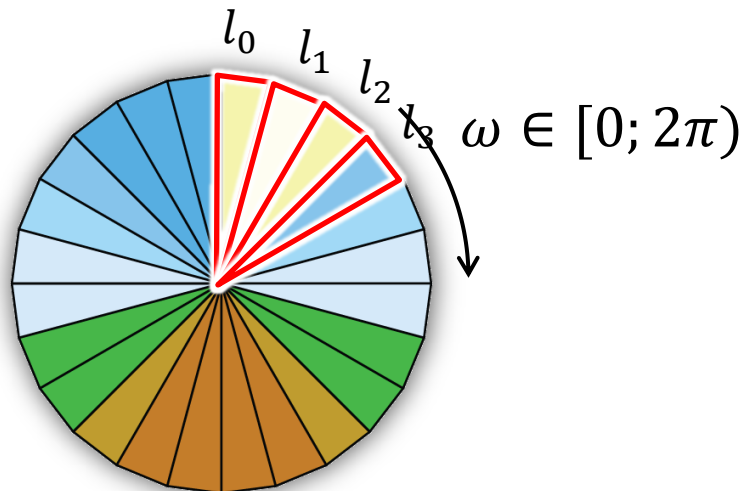
- ▶ Illustration mit stückweise-konstanter Basis mit m Funktionen $y_k(\omega)$

$$y_k(\omega) = \begin{cases} \sqrt{m/2\pi} & 2\pi k/m \leq \omega < 2\pi k + 1/m \\ 0 & \text{sonst} \end{cases} \text{ mit } \omega \in [0; 2\pi)$$

- ▶ Projektion der Flatland-EnvMap in diese Basis (hier: ein Farbkanal):

$$l_k = L \cdot y_k = \int_{2\pi} L(\omega_i) y_k(\omega_i) d\omega_i \approx \frac{2\pi}{N} \sum_{i=1}^N L(\omega_i) y_k(\omega_i)$$

- ▶ **in dieser Basis** beschreibt l_k wie viel Licht aus einem Richtungskegel ankommt



Precomputed Radiance Transfer



Diffuse Transferfunktion ohne Verdeckung

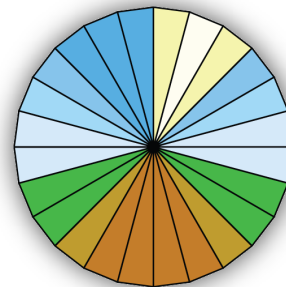
- ▶ anschließend definieren wir eine **Transferfunktion** für jeden Oberflächenpunkt/Vertex \mathbf{x} mit Normale \mathbf{N}_x
- ▶ die Transferfunktion $T_x(\omega)$ beschreibt, wie einfallendes Licht aus einer bestimmten Richtung zur Helligkeit der Oberfläche beiträgt

$$T_x(\omega) = \max(0, \mathbf{N}_x \cdot \omega)$$

$$L_r(\mathbf{x}) = k_d(\mathbf{x}) \int_{2\pi} T_x(\omega_i) L(\omega_i) d\omega_i$$

Albedo

Transfer-
funktion



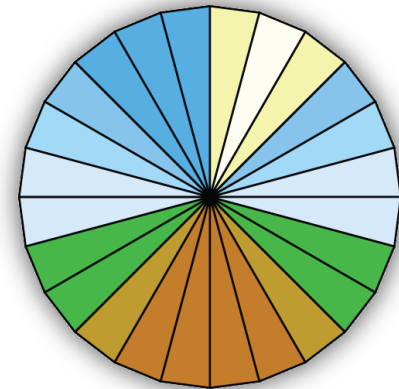
Precomputed Radiance Transfer



Idee: Beleuchtungsberechnung

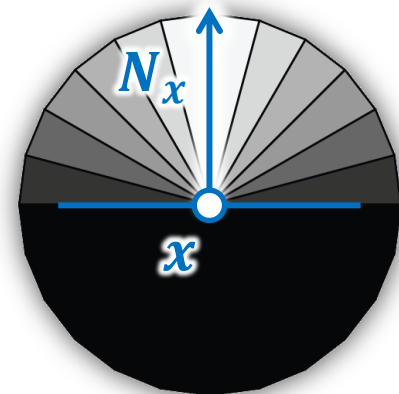
▶ EnvMap projiziert in die Basis $y_k(\omega)$ → Koeffizienten $\{l_k\}$

- ▶ l_k beschreibt wie viel Licht aus einem bestimmten Richtungsintervall ankommt



▶ Transferfunktion $T_x(\omega)$ bei \mathbf{x} in Basis $y_k(\omega)$ → Koeffizienten $t_{x,k}$

- ▶ $t_{x,k} = T_x \cdot y_k \approx \frac{2\pi}{N} \sum_{i=1}^N T_x(\omega_i) y_k(\omega_i)$
- ▶ $t_{x,k}$ beschreibt, wie Licht aus einem Richtungsintervall zum reflektierten Licht bei \mathbf{x} beiträgt
- ▶ Koeffizientenvektor $\{t_{x,k}\}$ wird pro Vertex gespeichert



Precomputed Radiance Transfer

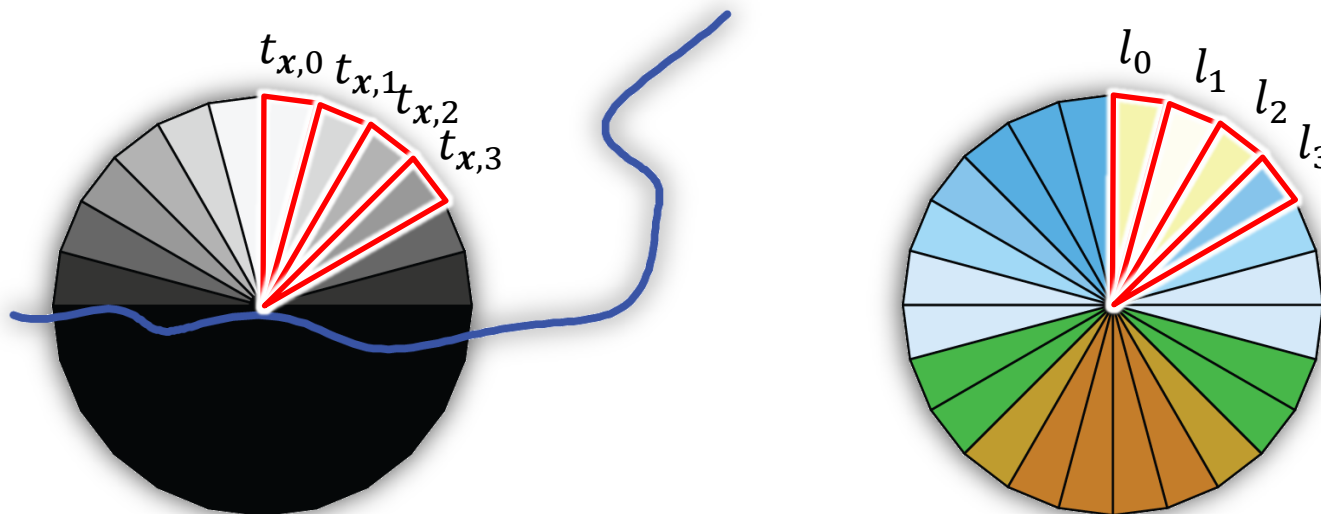


Idee: Beleuchtungsberechnung

- ▶ approximiere reflektiertes Licht mit

$$L_r(\mathbf{x}) = k_d(\mathbf{x}) \int_{2\pi} T_x(\omega_i) L(\omega_i) d\omega_i \approx k_d(\mathbf{x}) \sum_{i=1}^m t_{x,i} \cdot l_i$$

- ▶ Berechnung des Integrals wird zu Skalarprodukt zw. $\{l_k\}$ und $\{t_{x,k}\}$ **(wichtig: das gilt für alle orthonormalen Basen!)**
- ▶ hier keine Überraschung: Basis ist eine Diskretisierung der Richtungen
- ▶ was haben wir dadurch gewonnen? noch nichts... aber gleich!



Precomputed Radiance Transfer



Integral über Produkt zweier Funktionen

- ▶ das Integral über das Produkt zweier Funktionen dargestellt in einer orthonormalen Basis lässt sich effizient berechnen: als Skalarprodukt der Koeffizientenvektoren

$$\int_{2\pi} a^*(\omega)b^*(\omega)d\omega =$$
$$\int_{2\pi} \sum_{i=1}^m a_i y_i(\omega) \sum_{j=1}^m b_j y_j(\omega) d\omega =$$

$$\sum_{i=1}^m \sum_{j=1}^m a_i b_j \int_{2\pi} y_i(\omega) y_j(\omega) d\omega =$$

$$\sum_{i=1}^m \sum_{j=1}^m a_i b_j \delta_{ij} = \sum_{i=1}^m a_i b_i$$



Orthonormalität der Basisfunktionen!

Precomputed Radiance Transfer



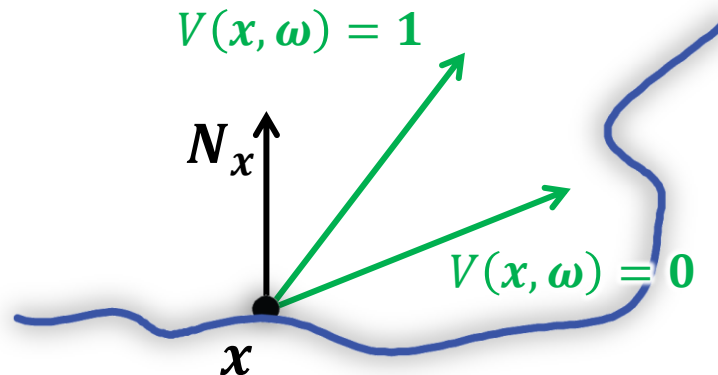
Transferfunktion: direkte Beleuchtung mit Verschattung

► wir können Sichtbarkeit bei \mathbf{x} einfach in die Transferfunktion aufnehmen

$$T_{\mathbf{x}}(\omega) = \max(0, \mathbf{N}_{\mathbf{x}} \cdot \omega) \cdot V(\mathbf{x}, \omega)$$

$$V(\mathbf{x}, \omega) = \begin{cases} 1 & \text{wenn Licht } \mathbf{x} \text{ aus Richtung } \omega \text{ erreicht} \\ 0 & \text{sonst} \end{cases}$$

► Projektion in Basis: $t_{x,k} \approx \frac{2\pi}{N} \sum_{i=1}^N \max(0, \mathbf{N}_{\mathbf{x}} \cdot \omega_i) \cdot V(\mathbf{x}, \omega_i) \cdot y_k(\omega_i)$



Precomputed Radiance Transfer

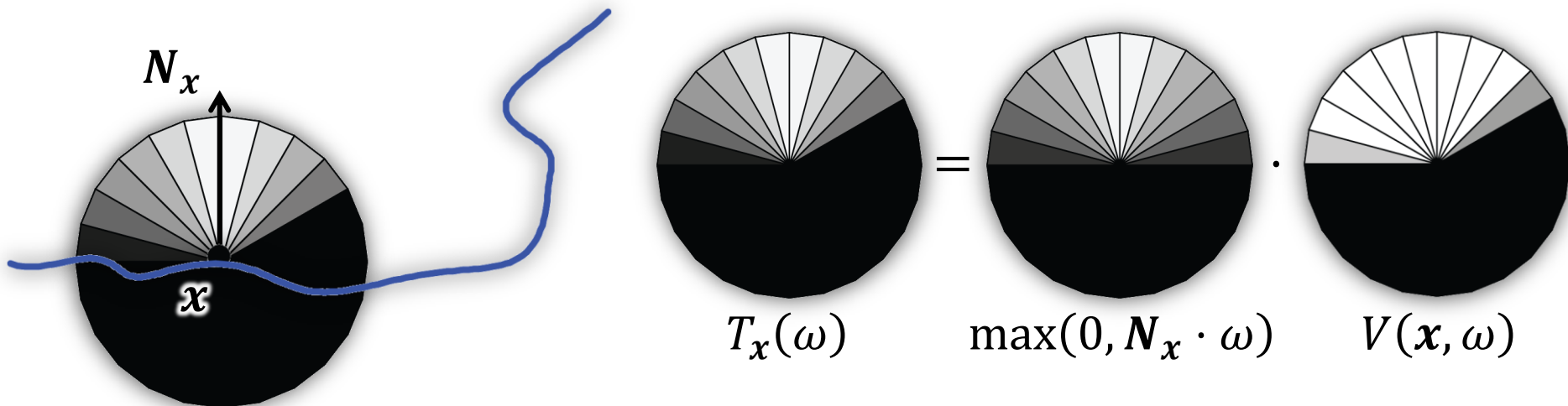


Transferfunktion: direkte Beleuchtung mit Verschattung

► wir können Sichtbarkeit bei \mathbf{x} einfach in die Transferfunktion aufnehmen

$$T_x(\omega) = \max(0, \mathbf{N}_x \cdot \omega) \cdot V(\mathbf{x}, \omega)$$

$$V(\mathbf{x}, \omega) = \begin{cases} 1 & \text{wenn Licht } \mathbf{x} \text{ aus Richtung } \omega \text{ erreicht} \\ 0 & \text{sonst} \end{cases}$$



Precomputed Radiance Transfer



Transferfunktion mit (einfach-)indirekter Beleuchtung

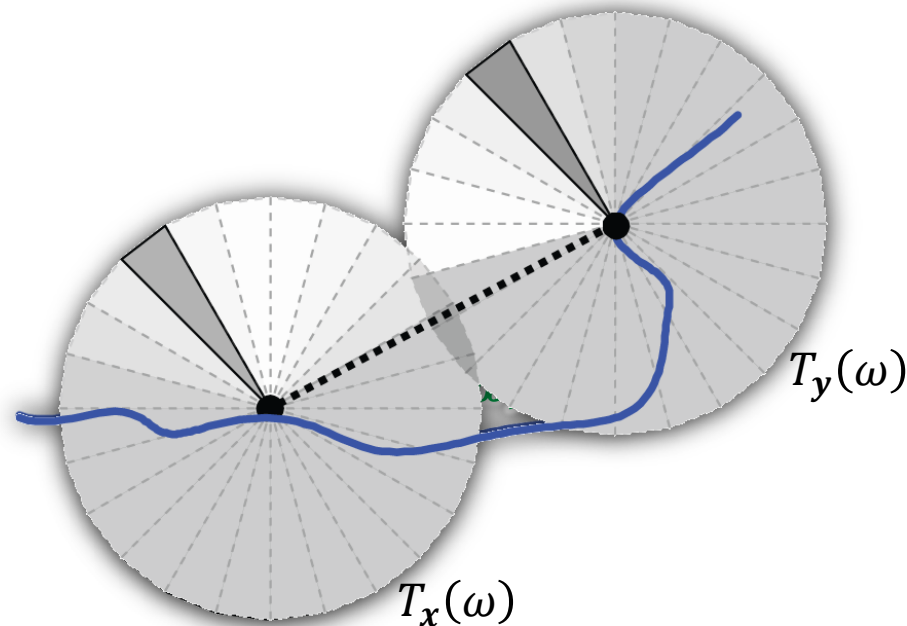
- ▶ Prinzip: zur Reflexion kommt das Licht aus einer Richtung ω hinzu, das von allen anderen Oberflächenpunkten \mathbf{y} zu \mathbf{x} hinreflektiert wird

$$T'_x(\omega) = T_x(\omega) + T_y(\omega) \cdot \underbrace{k_d(\mathbf{y})}_{\text{Albedo bei } \mathbf{y}} \cdot \underbrace{\max(0, \mathbf{N}_x \cdot \omega)}_{\text{verkürzter Raumwinkel bei } \mathbf{x}} \cdot \underbrace{V(\mathbf{x}, \mathbf{y})}_{\text{wenn } \mathbf{x} \text{ und } \mathbf{y} \text{ ggs. sichtbar}}$$

Albedo bei \mathbf{y}

verkürzter
Raumwinkel bei \mathbf{x}

wenn \mathbf{x} und \mathbf{y}
ggs. sichtbar

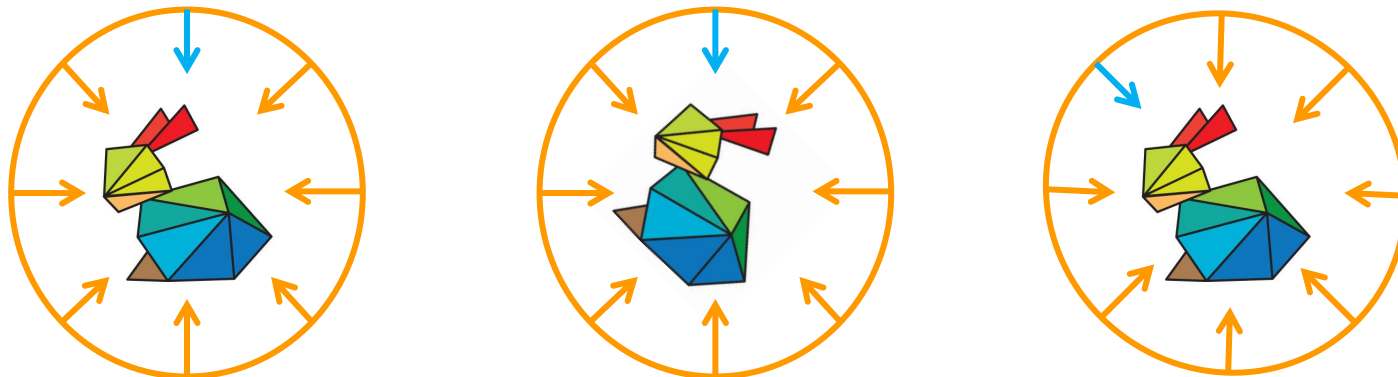


Precomputed Radiance Transfer



Rendering-Algorithmus

- ▶ Vorbereitung von $\{t_{x,k}\}$, d.h. die **Geometrie ist danach statisch**
- ▶ zur Laufzeit
 - ▶ berechne $\{l_k\}$
(erlaubt Änderung der Beleuchtung und starre Rotation des Objekts)
 - ▶ für jeden Vertex: berechne Beleuchtung mit $k_d(\mathbf{x}) \sum_{i=1}^m t_{x,k} \cdot l_k$
 - ▶ auch möglich: interpoliere $\{t_{x,k}\}$ zwischen den Vertices
- ▶ Beispiel: soll das Objekt gedreht werden (Mitte), dann können die Transferkoeffizienten $\{t_{x,k}\}$ beibehalten werden und $\{l_k\}$ mit der inversen Rotation neu berechnet werden (rechts)



Rendering-Algorithmus

- ▶ Vorbereitung von $\{t_{x,k}\}$, d.h. die **Geometrie ist danach statisch**
- ▶ zur Laufzeit
 - ▶ berechne $\{l_k\}$
(erlaubt Änderung der Beleuchtung und starre Rotation des Objekts)
 - ▶ für jeden Vertex: berechne Beleuchtung mit $k_d(\mathbf{x}) \sum_{i=1}^m t_{x,k} \cdot l_k$
 - ▶ auch möglich: interpoliere $\{t_{x,k}\}$ zwischen den Vertices
- ▶ die verbleibende Frage: welche Basis verwenden wir (in 3D)?
 - ▶ muss über alle Richtungen definiert sein
 - ▶ sollte mit wenigen Basisfunktionen auskommen
 - ▶ sollte glatt sein (nicht stückweise-konstant!)

Kugelflächenfunktionen, Spherical Harmonics

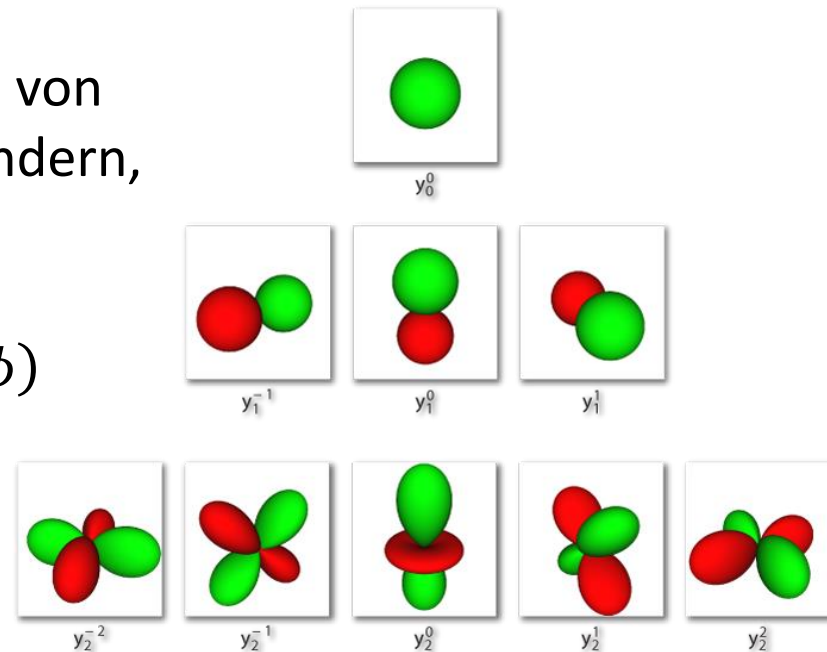


- ▶ wir verwenden sog. Kugelflächenfunktionen (Spherical Harmonics, SH)
- ▶ Basisfunktionen werden typischerweise indiziert mit Band l und innerhalb der Bänder mit „Quantenzahl“ $-l \leq m \leq l$
- ▶ Basisfunktionen in niedrigen Bändern sind glatt/niederfrequent und werden mit zunehmendem l hochfrequenter, es gilt:

$$f(\theta, \phi) = \sum_{l=0}^{\infty} \sum_{m=-l}^l f_l^m y_l^m(\theta, \phi)$$

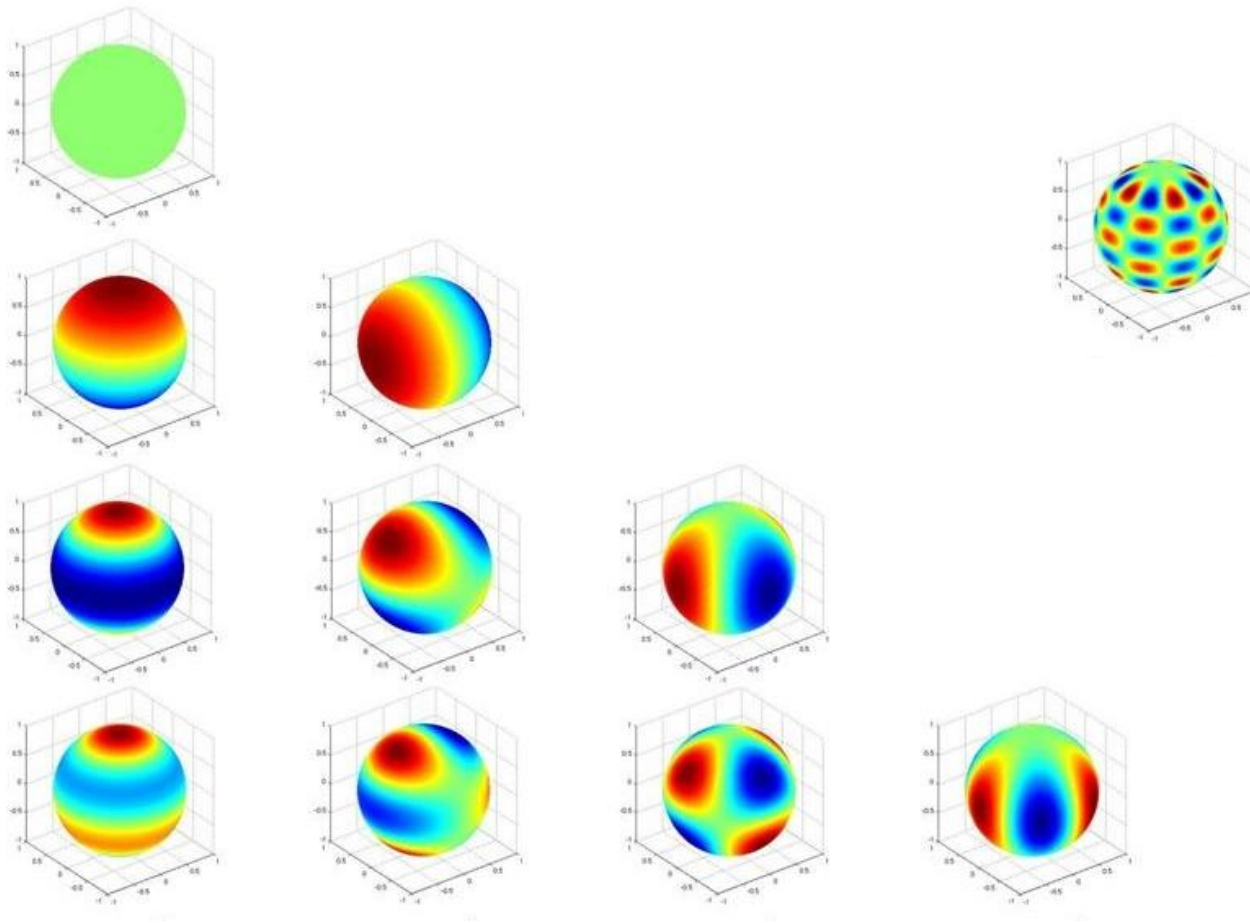
- ▶ eine niederfrequente Approximation von $f(\theta, \phi)$ erhalten wir mit weniger Bändern, z.B. $n = 3$ (ergibt n^2 Koeffizienten)

$$f(\theta, \phi) \approx \sum_{l=0}^{n-1} \sum_{m=-l}^l f_l^m y_l^m(\theta, \phi)$$



Kugelflächenfunktionen, Spherical Harmonics

► Darstellung als Farbkodierung auf Kugeloberflächen



Reelle Spherical Harmonics



- ▶ woher kommen die Kugelflächenfunktionen?
 - ▶ Eigenfunktionen zum Winkelanteil des Laplace-Operators (Teil der Laplace-Gleichung, Beschreibung elektrischer Felder)
 - ▶ eine Funktion, die die Laplacesche DGL erfüllt nennt man harmonisch
 - ▶ Anwendungen: theoretische Physik (Elektrodynamik, Beschreibung von Bahndrehimpulsen, Quantenmechanik), Geodäsie, Atomorbitale...

$$y_0^0(\theta, \varphi) = \frac{1}{2} \sqrt{\frac{1}{\pi}}$$

$$y_0^0(x, y, z) = \frac{1}{2} \sqrt{\frac{1}{\pi}}$$

$$y_1^{-1}(\theta, \varphi) = -\frac{1}{2} \sqrt{\frac{3}{\pi}} \sin \theta \sin \varphi$$

$$y_1^{-1}(x, y, z) = -\frac{1}{2} \sqrt{\frac{3}{\pi}} y$$

$$y_1^0(\theta, \varphi) = \frac{1}{2} \sqrt{\frac{3}{\pi}} \cos \theta$$

$$y_1^0(x, y, z) = \frac{1}{2} \sqrt{\frac{3}{\pi}} z$$

$$y_1^1(\theta, \varphi) = -\frac{1}{2} \sqrt{\frac{3}{\pi}} \sin \theta \cos \varphi$$

$$y_1^1(x, y, z) = -\frac{1}{2} \sqrt{\frac{3}{\pi}} x$$

$$y_2^{-2}(\theta, \varphi) = \frac{1}{2} \sqrt{\frac{15}{\pi}} \sin^2 \theta \sin \varphi \cos \varphi$$

$$y_2^{-2}(x, y, z) = \frac{1}{2} \sqrt{\frac{15}{\pi}} xy$$

$$y_2^{-1}(\theta, \varphi) = -\frac{1}{2} \sqrt{\frac{15}{\pi}} \sin \theta \cos \theta \sin \varphi$$

$$y_2^{-1}(x, y, z) = -\frac{1}{2} \sqrt{\frac{15}{\pi}} yz$$

$$y_2^0(\theta, \varphi) = \frac{1}{4} \sqrt{\frac{5}{\pi}} (3 \cos^2 \theta - 1)$$

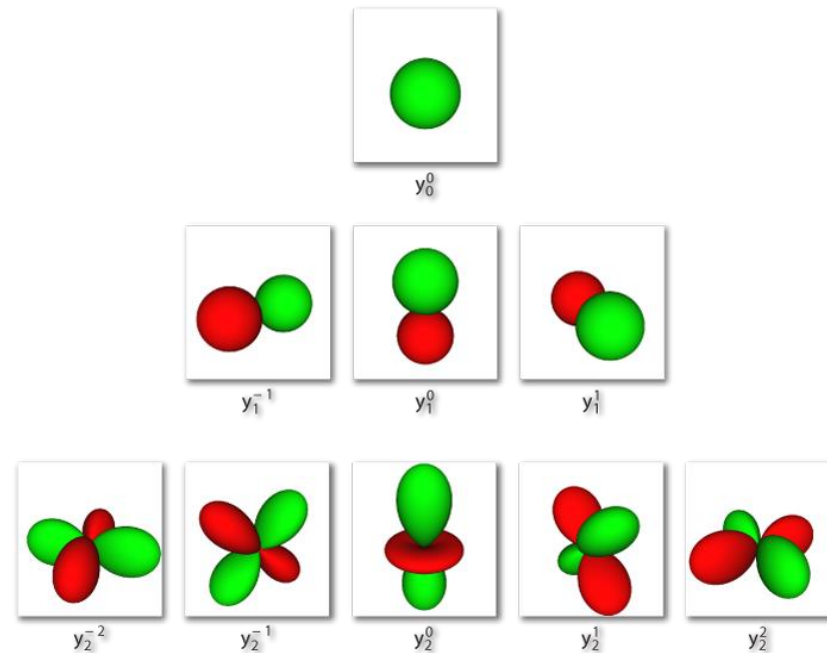
$$y_2^0(x, y, z) = \frac{1}{4} \sqrt{\frac{5}{\pi}} (3z^2 - 1)$$

$$y_2^1(\theta, \varphi) = -\frac{1}{2} \sqrt{\frac{15}{\pi}} \sin \theta \cos \theta \cos \varphi$$

$$y_2^1(x, y, z) = -\frac{1}{2} \sqrt{\frac{15}{\pi}} xz$$

$$y_2^2(\theta, \varphi) = \frac{1}{2} \sqrt{\frac{15}{\pi}} \sin^2 \theta (2 \cos^2 \varphi - 1)$$

$$y_2^2(x, y, z) = \frac{1}{2} \sqrt{\frac{15}{\pi}} (x^2 - y^2)$$



Spherical Harmonics (allgemein)



Nur damit Sie es nachschlagen können...

▶ komplexe Basisfunktionen $Y_l^m(\theta, \phi) = K_l^m P_l^{|m|}(\cos \theta) e^{im\phi}$

▶ die reelle Basis bildet eine Untermenge

$$y_l^m = \begin{cases} \sqrt{2} \operatorname{Re}(Y_l^m) = \sqrt{2} K_l^m P_l^m(\cos \theta) \cos(m\phi) & m > 0 \\ \sqrt{2} \operatorname{Im}(Y_l^m) = \sqrt{2} K_l^m P_l^{-m}(\cos \theta) \sin(-m\phi) & m < 0 \\ Y_l^0 = K_l^0 P_l^0(\cos \theta) & m = 0 \end{cases}$$

▶ Normalisierungsterm

$$K_l^m = \sqrt{\frac{(2l+1)(l-|m|)!}{4\pi(l+|m|)!}} \quad \int_{\theta=0}^{\pi} \int_{\phi=0}^{2\pi} Y_l^m(\theta, \phi) Y_l^{m'}(\theta, \phi) \sin \theta d\phi d\theta = \delta_{ll'} \delta_{mm'}$$

▶ Legendreschen Polynome mit Doppelfakultät

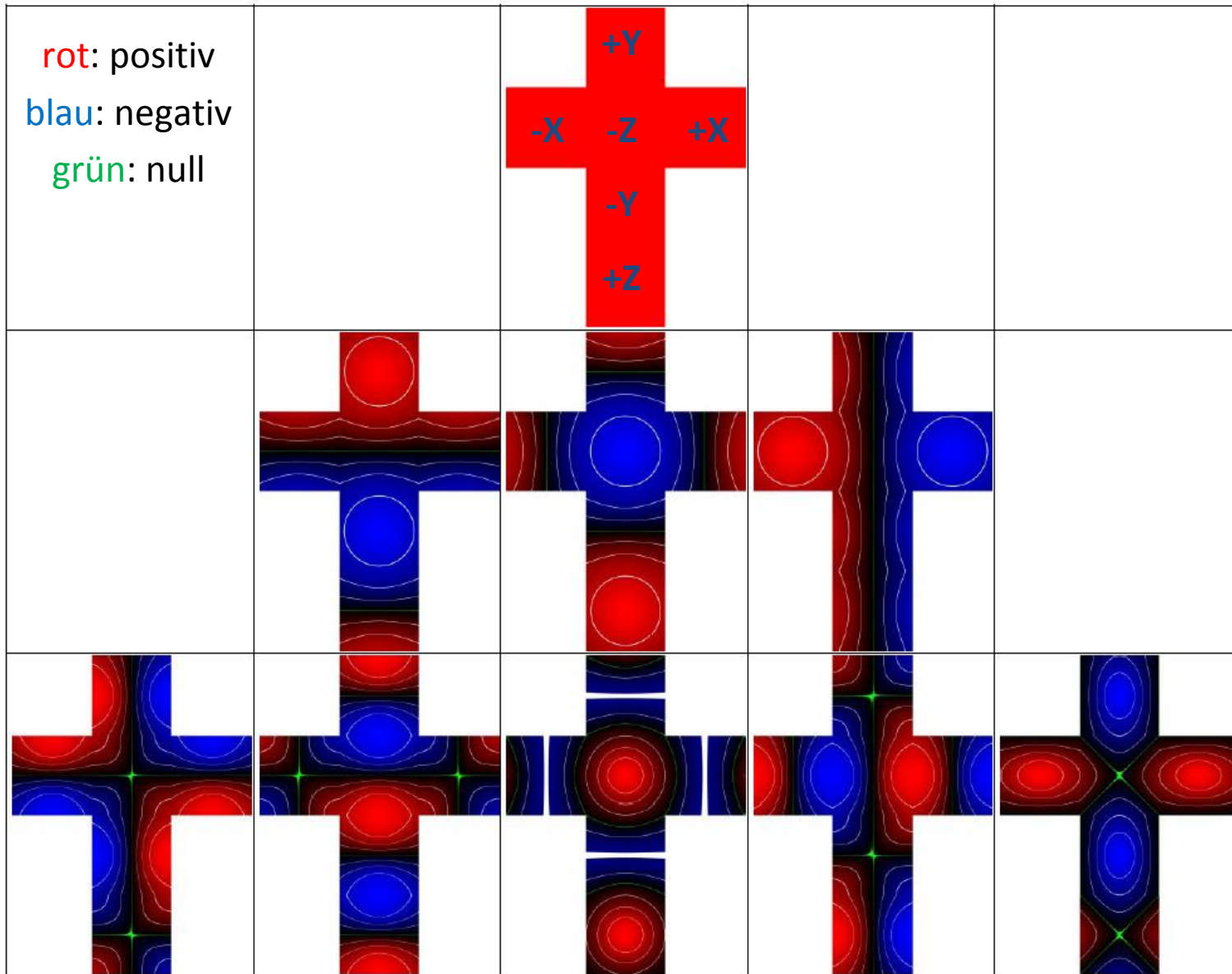
$$P_l^m(x) = \frac{x(2l-1)P_{l-1}^m - (l+m-1)P_{l-2}^m}{l-m}$$

$$P_m^m(x) = (-1)^m (2m-1)!! (\sqrt{1-x^2})^m$$

$$P_{m+1}^m(x) = x(2m+1)P_m^m, \quad P_0^0 = 1$$

$$n!! = \begin{cases} n \cdot (n-2) \cdot \dots \cdot 3 \cdot 1 & n > 0 \text{ ungerade} \\ n \cdot (n-2) \cdot \dots \cdot 4 \cdot 2 & n > 0 \text{ gerade} \\ 1 & n \in \{-1, 0\} \end{cases}$$

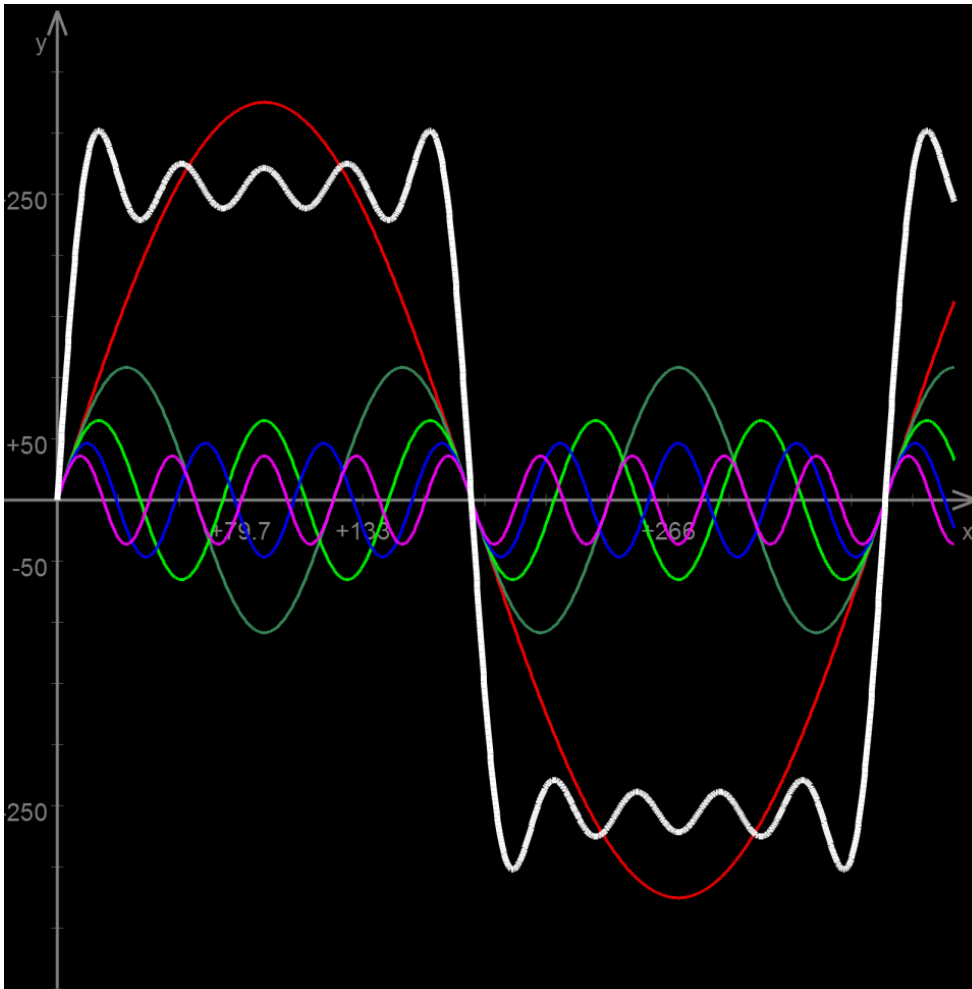
Spherical Harmonics auf den Seiten einer Cube-Map



Spherical Harmonics und Frequenzen in Bildern

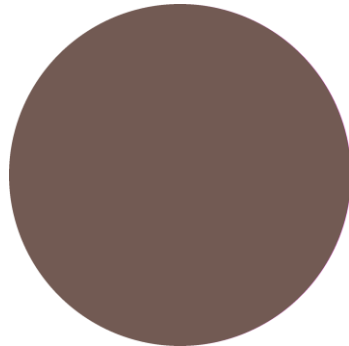


- ▶ eine Environment Map (hier als LatLong-Bild dargestellt) kann in der SH-Basis dargestellt werden
- ▶ Analogon: Überlagerung von Schwingungen unterschiedlicher Frequenz

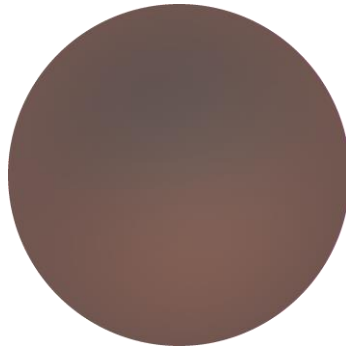


Approximation mit SH

- ▶ wir wollen u.a. eine Environment Map mit SH darstellen (für RGB: ein Koeffizientenvektor pro Farbkanal)
- ▶ wir wollen Integrale über Beleuchtung und BRDF berechnen, d.h. wir haben es mit (meist) glatten Funktionen zu tun, die mit wenigen Koeffizienten ausreichend gut dargestellt werden können!



n=1



n=2



n=4



n=8



n=16



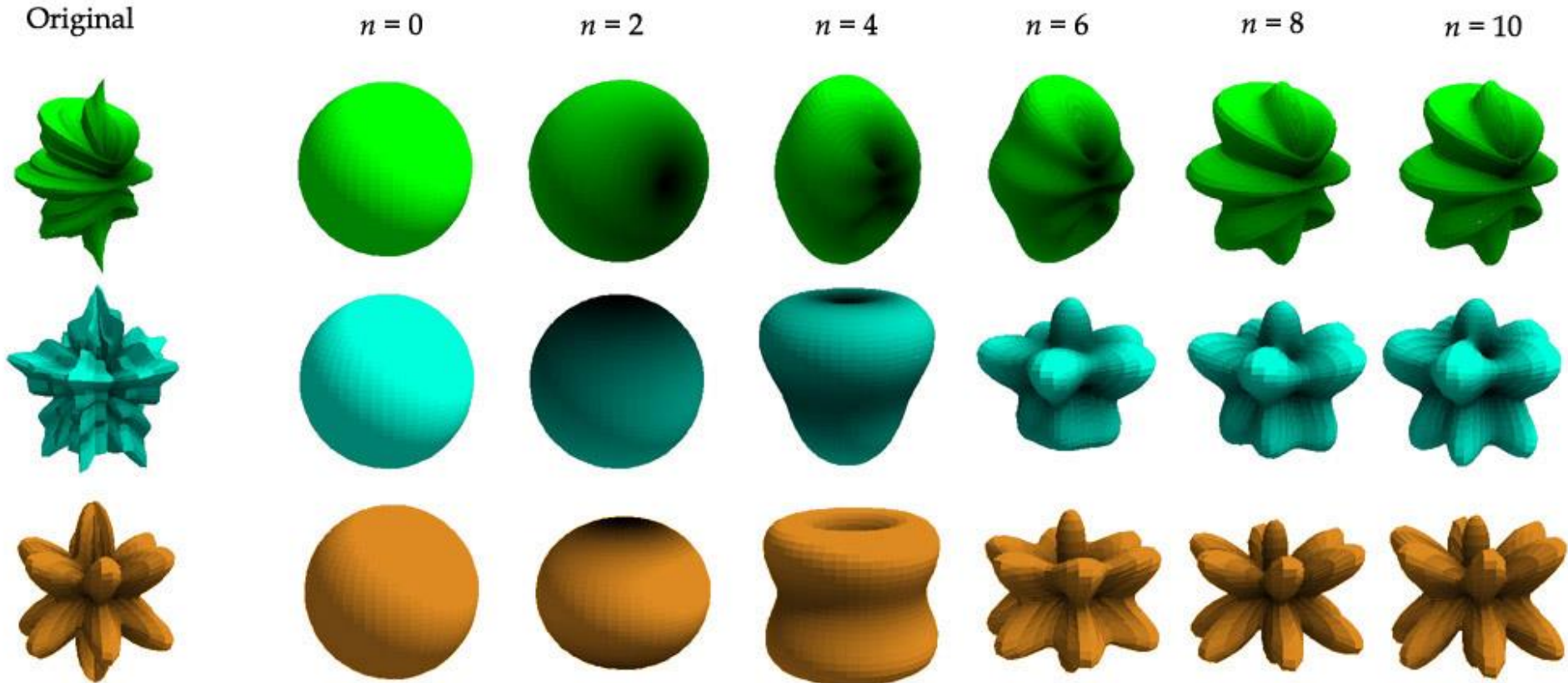
n=32



Original

Approximation mit SH

- ▶ weiteres Beispiel: hier wird eine Abstandsfunktion $f: \Omega \rightarrow \mathbb{R}$ (dargestellt als Fläche) mit SH approximiert



Spherical Harmonics



Indizierung, Schreibweise

- ▶ oft verwendet man folgende Indizierung der Basisfunktionen

$$f(\theta, \phi) = \sum_{l=0}^{\infty} \sum_{m=-l}^l f_l^m y_l^m(\theta, \phi) = \sum_{i=1}^{\infty} f_i y_i(\theta, \phi)$$

mit $i = l(l + 1) + m + 1$, d.h. die Reihenfolge ist $(0,0)$, $(1, -1)$, $(1,0)$, $(1,1)$, $(2, -2)$, $(2, -1)$, ...

- ▶ man verwendet üblicherweise alle Funktionen der jeweils ersten n Bänder, d.h. also n^2 Koeffizienten

$$f(\theta, \phi) \approx f^*(\theta, \phi) = \sum_{l=0}^{n-1} \sum_{m=-l}^l f_l^m y_l^m(\theta, \phi) = \sum_{i=1}^{n^2} f_i y_i(\theta, \phi)$$

Spherical Harmonics



Berechnung der Koeffizienten (im Prinzip wie bisher)

► ... über das Skalarprodukt für Funktionen

$$f(\theta, \phi) \approx f^*(\theta, \phi) = \sum_{i=1}^{n^2} f_i y_i(\theta, \phi)$$

$$f_i = \int_{\Omega} f(\omega) y_i(\omega) d\omega = \int_0^{2\pi} \int_0^{\pi} f(\theta, \phi) y_i(\theta, \phi) \sin \theta d\theta d\phi$$

► in der Praxis verwenden wir Monte Carlo Integration

▶ z.B. mit N uniform verteilten Richtungen ω_j

$$f_i \approx \frac{4\pi}{N} \sum_{j=1}^N f(\omega_j) y_i(\omega_j)$$

Spherical Harmonics



Integral über Produkt zweier Funktionen

- ▶ mit SH lässt sich das Integral über das Produkt zweier mit SH approximierter Funktionen effizient berechnen (vgl. stückweise-konstante Basis), z.B. Integral über Produkt aus Transferfkt. und Licht

$$\int_{\Omega} a^*(\boldsymbol{\omega}) b^*(\boldsymbol{\omega}) d\boldsymbol{\omega} = \int_{\Omega} \sum_{i=1}^{n^2} a_i y_i(\boldsymbol{\omega}) \sum_{j=1}^{n^2} b_j y_j(\boldsymbol{\omega}) d\boldsymbol{\omega} =$$

$$\sum_{i=1}^{n^2} \sum_{j=1}^{n^2} a_i b_j \int_{\Omega} y_i(\boldsymbol{\omega}) y_j(\boldsymbol{\omega}) d\boldsymbol{\omega} =$$

$$\sum_{i=1}^{n^2} \sum_{j=1}^{n^2} a_i b_j \delta_{ij} = \sum_{i=1}^{n^2} a_i b_i$$



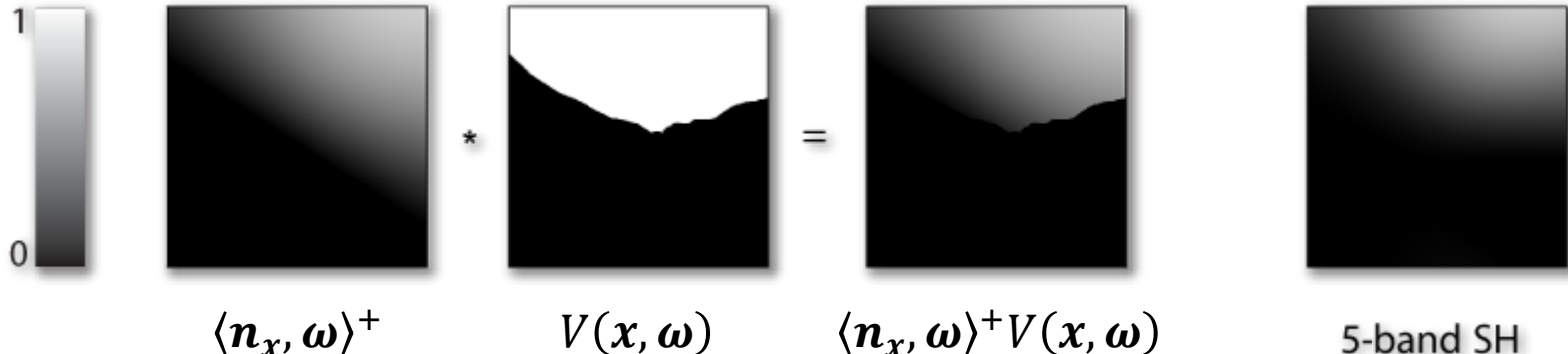
Orthonormalität der Basisfunktionen!

PRT mit Verschattung und SH

Beispiel: diffuser verschatteter Transfer, Transferfunktion

$$T_x(\omega) = \begin{cases} \frac{1}{\pi} \langle \mathbf{n}_x, \omega \rangle V(x, \omega) & \langle \mathbf{n}_x, \omega \rangle \geq 0 \\ 0 & \text{sonst} \end{cases}$$

$$V(x, \omega) = \begin{cases} 1 & \text{wenn bei } \mathbf{x} \text{ Umgebungslicht aus Richtung } \omega \text{ ankommt} \\ 0 & \text{sonst} \end{cases}$$



► $t_{x,i}$ beschreibt wie das Licht – projiziert in die Basistunktion $y_i(\omega)$ – zum reflektierten Licht bei \mathbf{x} beiträgt

PRT mit Verschattung und SH

Beispiel: diffuser verschatteter Transfer, Beleuchtung

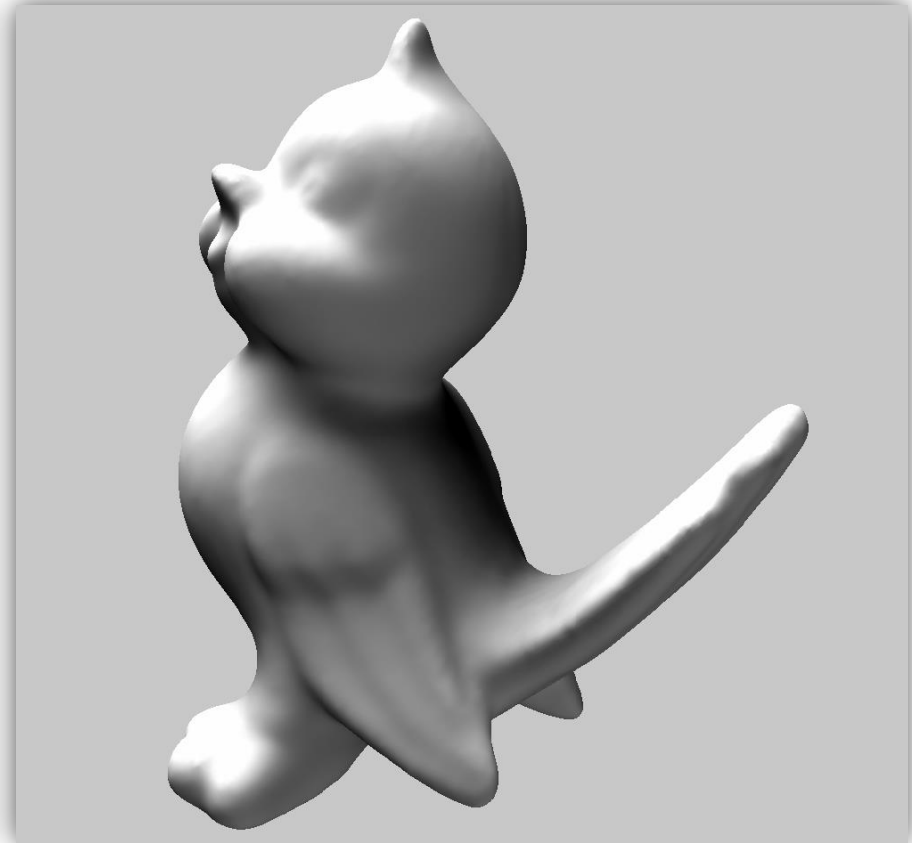
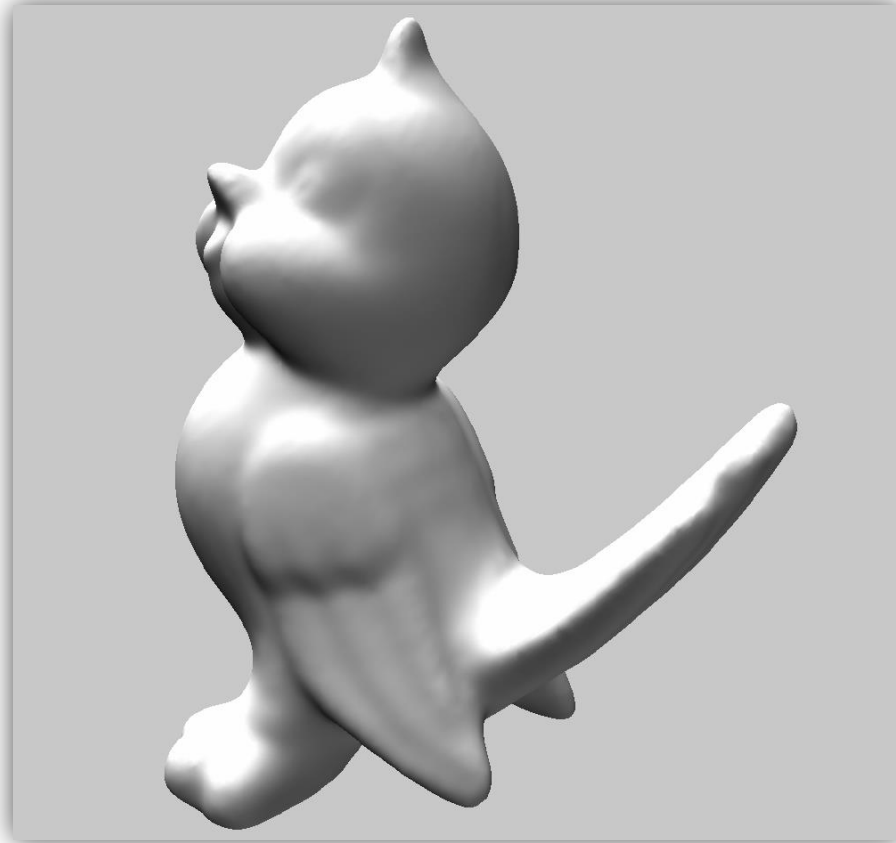
$$L_r(\mathbf{x}) = \underbrace{k_d(\mathbf{x})}_{\text{Albedo}} \int_{2\pi} \underbrace{\frac{1}{\pi} T_x(\omega_i)}_{\text{Transferfunktion}} \underbrace{L(\omega_i)}_{\text{Beleuchtung}} d\omega_i$$

- ▶ $L_i(\omega_i)$ projiziert in 5-SH-Bänder und rekonstruiert



PRT Beispiel

- ▶ Transport ohne (links) und mit Verschattung (rechts)
- ▶ Resultate dank SH (nur 3 Bänder, also 9 Koeffizienten pro Vertex!) glatt

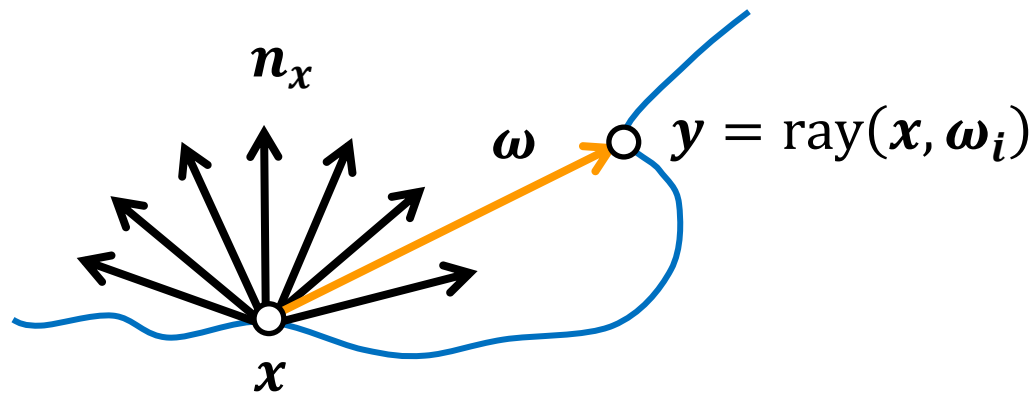


PRT: Transfer mit Mehrfachreflexion



- ▶ Mehrfachreflexion: wenn der Strahl von x in Richtung ω eine Oberfläche bei $y = \text{ray}(x, \omega)$ schneidet, dann muss die dort reflektierte Radiance zum Transport bei x beitragen

$$L_r(x) = k_d(x) \left(\int_{\Omega^+} \frac{1}{\pi} \langle n_x, \omega_i \rangle V(x, \omega_i) L_i(\omega_i) d\omega_i \right. \\ \left. + \int_{\Omega^+} \frac{1}{\pi} \langle n_x, \omega_i \rangle (1 - V(x, \omega_i)) L_r(\text{ray}(x, \omega_i)) d\omega_i \right)$$



- ▶ von der Darstellung als Neumann Reihe wissen wir, dass wir n -fach reflektiertes Licht aus den $(n - 1)$ -fach reflektierten berechnen können
- ▶ direkte Beleuchtung

$$L_r^0(\mathbf{x}) = k_d(\mathbf{x}) \int_{\Omega^+} \frac{1}{\pi} \langle \mathbf{n}_x, \boldsymbol{\omega}_i \rangle V(\mathbf{x}, \boldsymbol{\omega}_i) L_i(\boldsymbol{\omega}_i) d\boldsymbol{\omega}_i$$

- ▶ indirekte Beleuchtung unter Verwendung der vorherigen Iteration(en) (b = „bounce“, $b > 0$)

$$L_r^b(\mathbf{x}) = k_d(\mathbf{x}) \int_{\Omega^+} \frac{1}{\pi} \langle \mathbf{n}_x, \boldsymbol{\omega}_i \rangle (1 - V(\mathbf{x}, \boldsymbol{\omega}_i)) L_r^{b-1}(\mathbf{y}) d\boldsymbol{\omega}_i$$

- ▶ direkte und indirekte Beleuchtung mit bis zu B Indirektionen

$$L_r(\mathbf{x}) = \sum_{b=0}^B L_r^b(\mathbf{x})$$

- ▶ wie berechnet man die Transferkoeffizienten? Muss man jeden „Bounce“ separat projizieren?

Nebenrechnung (Bonusmaterial)

$$L_r^1(\mathbf{x}) = k_d(\mathbf{x}) \int_{\Omega^+} \frac{1}{\pi} \langle \mathbf{n}_x, \boldsymbol{\omega}_i \rangle (1 - V(\mathbf{x}, \boldsymbol{\omega}_i)) L_r^0(\mathbf{y}) d\boldsymbol{\omega}_i$$

- ▶ der Integrand ist $\neq 0$ für eine Menge von Punkten \mathbf{Y} (Oberflächen, die für Richtungen $\boldsymbol{\omega}_i$ getroffen werden)

$$L_r^1(\mathbf{x}) = k_d(\mathbf{x}) \int_{\mathbf{y} \in \mathbf{Y}} T_x \left(\frac{\mathbf{y} - \mathbf{x}}{\|\mathbf{y} - \mathbf{x}\|} \right) L_r^0(\mathbf{y}) d\mathbf{y}$$

- ▶ das Integral über \mathbf{Y} ist nur eine Schreibweise und macht die Herleitung etwas übersichtlicher...

- ▶ Einsetzen des Reflexionsintegrals bei \mathbf{y}

$$L_r^1(\mathbf{x}) = k_d(\mathbf{x}) \int_{\mathbf{y} \in \mathbf{Y}} T_x(\cdot) k_d(\mathbf{y}) \int_{\Omega^+} T_y(\boldsymbol{\omega}_j) L_i(\boldsymbol{\omega}_j) d\boldsymbol{\omega}_j d\mathbf{y}$$

Nebenrechnung (Bonusmaterial)

- ▶ Terme umordnen

$$L_r^1(\mathbf{x}) = k_d(\mathbf{x}) \int_{\Omega^+} \underbrace{\int_{\mathbf{y} \in Y} T_x(\cdot) k_d(\mathbf{y}) T_y(\boldsymbol{\omega}_j) d\mathbf{y}}_{\text{Transferfunktion für einfach indirektes Licht}} \underbrace{L_i(\boldsymbol{\omega}_j)}_{\text{Licht}} d\boldsymbol{\omega}_j$$

- ▶ Projektion in Basis (und nochmal umsordieren)

$$t_{x,i}^1 = \int_{\Omega^+} \int_{\mathbf{y} \in Y} T_x(\cdot) k_d(\mathbf{y}) T_y(\boldsymbol{\omega}_j) d\mathbf{y} \cdot y_i(\boldsymbol{\omega}_j) d\boldsymbol{\omega}_j$$

$$t_{x,i}^1 = \int_{\mathbf{y} \in Y} T_x(\cdot) k_d(\mathbf{y}) \underbrace{\int_{\Omega^+} T_y(\boldsymbol{\omega}_j) \cdot y_i(\boldsymbol{\omega}_j) d\boldsymbol{\omega}_j}_{t_{y,i}^0} d\mathbf{y}$$

- ▶ wir erkennen: $t_{x,i}^1$ hängt ab von
 - ▶ Transferkoeffizient $t_{y,i}^0$
 - ▶ Transfer $T_x(\cdot)$ zwischen \mathbf{x} und \mathbf{y}
 - ▶ Albedo bei \mathbf{y}

Herleitung: einfach indirektes Licht

- ▶ direkte Beleuchtung

$$L_r^0(\mathbf{x}) = k_d(\mathbf{x}) \int_{\Omega^+} \frac{1}{\pi} \langle \mathbf{n}_x, \boldsymbol{\omega}_i \rangle V(\mathbf{x}, \boldsymbol{\omega}_i) L_i(\boldsymbol{\omega}_i) d\boldsymbol{\omega}_i \approx \rho(\mathbf{x}) \sum_{i=1}^{n^2} t_{x,i}^0 l_i$$

- ▶ einfach indirekte Beleuchtung aus $L_r^0(\mathbf{x})$

$$L_r^1(\mathbf{x}) = k_d(\mathbf{x}) \int_{\Omega^+} \frac{1}{\pi} \langle \mathbf{n}_x, \boldsymbol{\omega}_i \rangle (1 - V(\mathbf{x}, \boldsymbol{\omega}_i)) L_r^0(\mathbf{y}) d\boldsymbol{\omega}_i$$

$$L_r^1(\mathbf{x}) \approx k_d(\mathbf{x}) \int_{\Omega^+} \frac{1}{\pi} \langle \mathbf{n}_x, \boldsymbol{\omega}_i \rangle (1 - V(\mathbf{x}, \boldsymbol{\omega}_i)) k_d(\mathbf{y}) \sum_{i=1}^{n^2} t_{y,i}^0 l_i d\boldsymbol{\omega}_i$$

- ▶ wie trägt das bei \mathbf{y} reflektierte Licht, zur Gesamtreflexion bei \mathbf{x} bei (bzw. zu den Transferkoeffizienten $t_{x,i}$)?

PRT: Transfer mit Interreflexion



- ▶ es lässt sich also zeigen: es trägt nur der Koeffizient $t_{y,i}^0$ zu $t_{x,i}^1$ bei (Herleitung siehe Bonusmaterial eben + weiteres)
- ▶ Berechnung der Koeffizientenvektoren (für alle i zusammen)

$$t_{x,i}^0 = \frac{4\pi}{N} \sum_{j=1}^N T'_x(\boldsymbol{\omega}) y_i(\boldsymbol{\omega}) \quad \text{mit} \quad T'_x(\boldsymbol{\omega}) = \frac{1}{\pi} \langle \mathbf{n}_x, \boldsymbol{\omega} \rangle^+ V(\mathbf{x}, \boldsymbol{\omega})$$

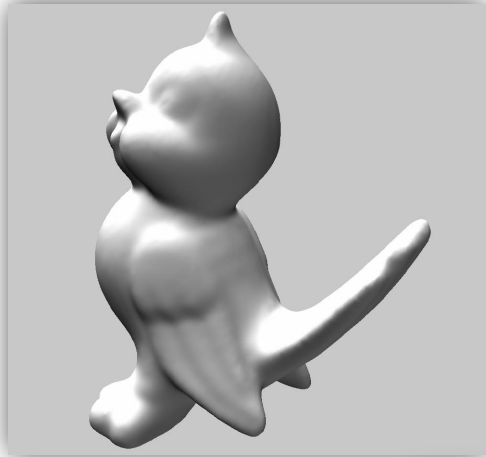
$$t_{x,i}^b = \frac{4\pi}{N} \sum_{j=1}^N \frac{1}{\pi} \langle \mathbf{n}_x, \boldsymbol{\omega} \rangle^+ (1 - V(\mathbf{x}, \boldsymbol{\omega})) k_d(\mathbf{y}) t_{y,i}^{b-1} \quad \text{für } b > 0$$

$$t_{x,i} = \sum_{b=0}^B t_{x,i}^b$$

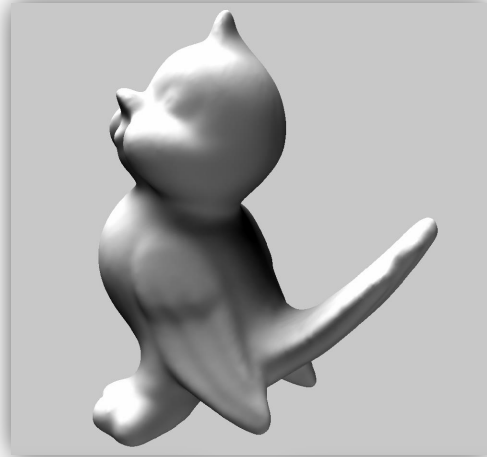
- ▶ im Gegensatz zu Transfer ohne Mehrfachreflexion geht jetzt die **Reflektivität** des Objekts über $k_d(\mathbf{y})$ in die **Transferkoeffizienten** ein, d.h. auch die **Oberflächenreflexion/-farbe ist jetzt statisch!**
- ▶ gilt nur unter der Annahme, dass die Beleuchtung für alle Oberflächenpunkte konstant ist (Umgebungslicht, also wie bisher)

PRT Beispiel

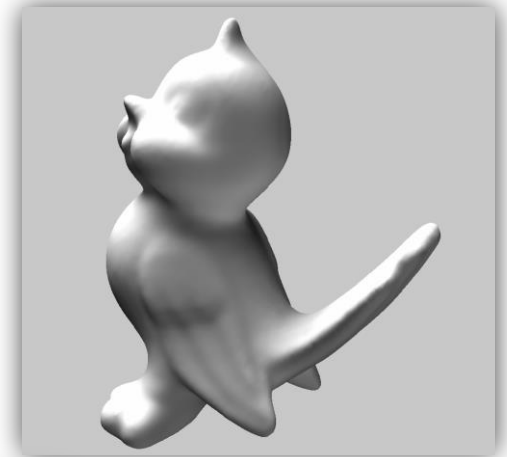
diffuse unverschattet



diffus verschattet



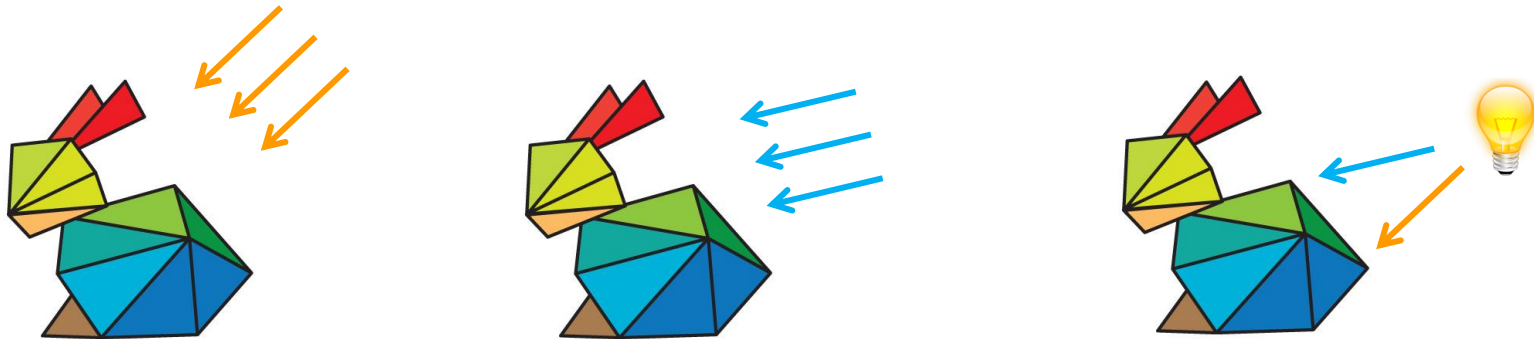
diffuse Interreflexion



PRT: Erweiterung auf lokale Lichtquellen



- ▶ bisher haben wir räumlich unveränderliche Beleuchtung betrachtet
 - ▶ bei lokalen Lichtquellen gilt diese Annahme natürlich nicht
- ▶ eine Möglichkeit: mehrere Koeffizientenvektoren für verschiedene Lichtrichtungen berechnen (also für direktionale Lichtquellen)
 - ▶ dann für eine geg. Lichtposition die Koeffizienten (entsprechend der Richtung zur Oberfläche) auswählen oder komponentenweise interpolieren



- ▶ hier macht man sich eine wichtige „Eigenschaft“ der SH zunutze: man kann **Koeffizientenvektoren interpolieren** und es kommt i.d.R. etwas Plausibles/Sinnvolles heraus

- ▶ Beleuchtungsberechnung mit Subsurface Scattering durch BSSRDF S

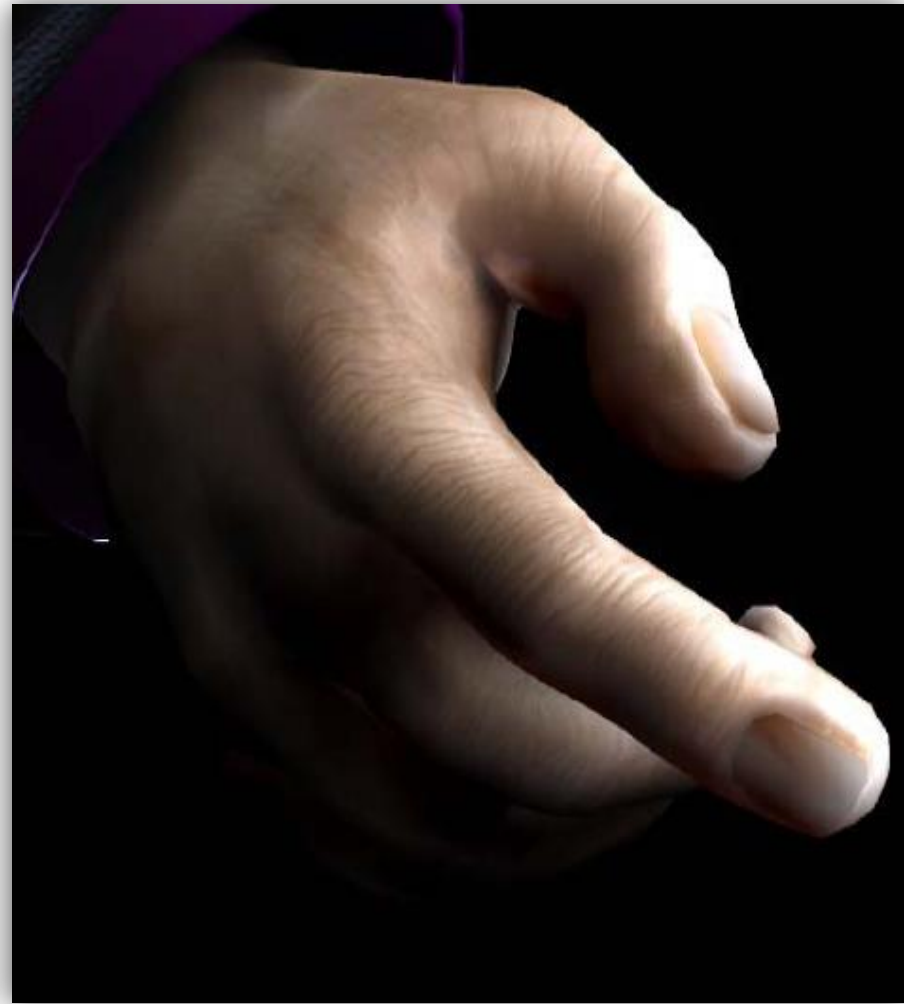
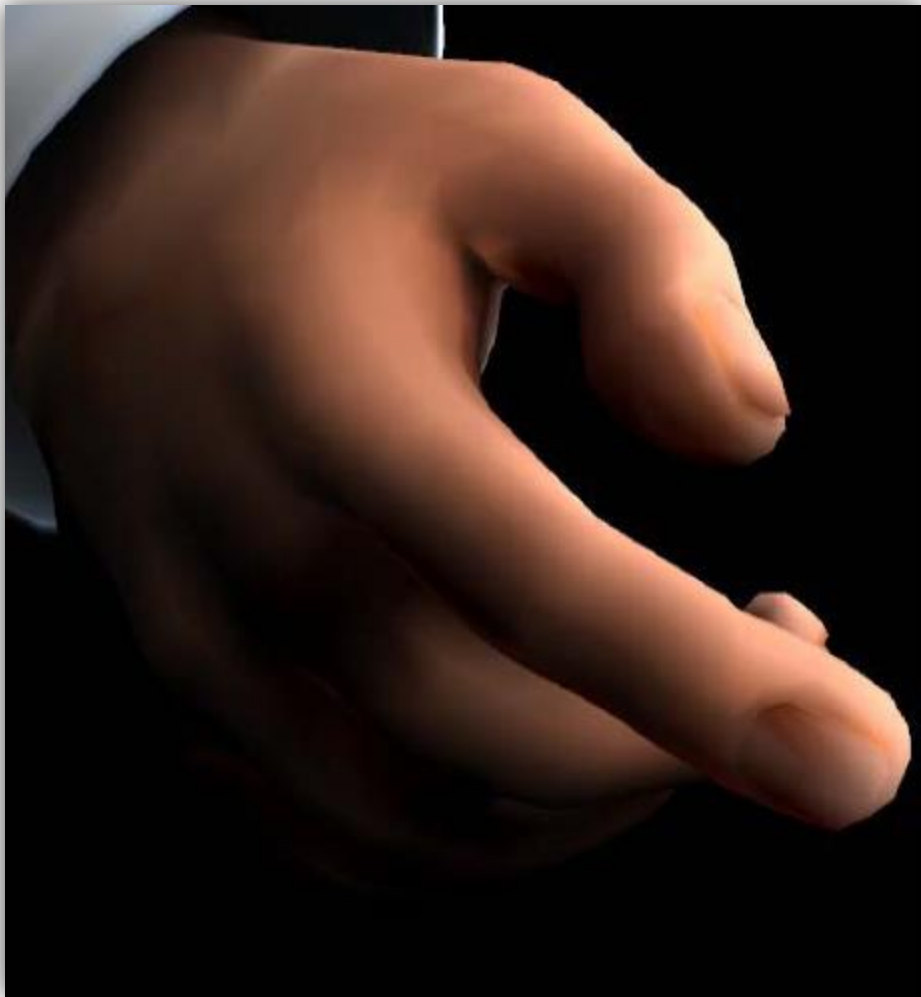
$$L_r(\mathbf{x}, \boldsymbol{\omega}_r) = \int_A \int_{\Omega} S(\mathbf{x}, \boldsymbol{\omega}_r, \mathbf{x}_i, \boldsymbol{\omega}_i) L_i(\mathbf{x}_i, \boldsymbol{\omega}_i) \cos \theta_i d\boldsymbol{\omega}_i dA(\mathbf{x}_i)$$

- ▶ mit den bekannten Vereinfachungen...
 - ▶ Beleuchtung durch entferntes Licht (keine Abhängigkeit von \mathbf{x}_i bei L_i)
 - ▶ ausgehendes Licht ist diffus (keine Abhängigkeit von $\boldsymbol{\omega}_r$)
 - ▶ erhalten wir

$$L_r(\mathbf{x}) = \int_A \int_{\Omega} S(\mathbf{x}, \mathbf{x}_i, \boldsymbol{\omega}_i) L_i(\boldsymbol{\omega}_i) \cos \theta_i d\boldsymbol{\omega}_i dA(\mathbf{x}_i)$$

- ▶ ...und können wieder eine Transferfunktion $T_x(\boldsymbol{\omega}_i) = \int_A S(\mathbf{x}, \mathbf{x}_i, \boldsymbol{\omega}_i) \cos \theta_i dA(\mathbf{x}_i)$ angeben
- ▶ berechnen würde man die Transferfunktion z.B. mit der (vereinfachten) Dipolapproximation (siehe Vorlesung Fotorealistische Bildsynthese)

Beispiel – SH Translucency (ATI)

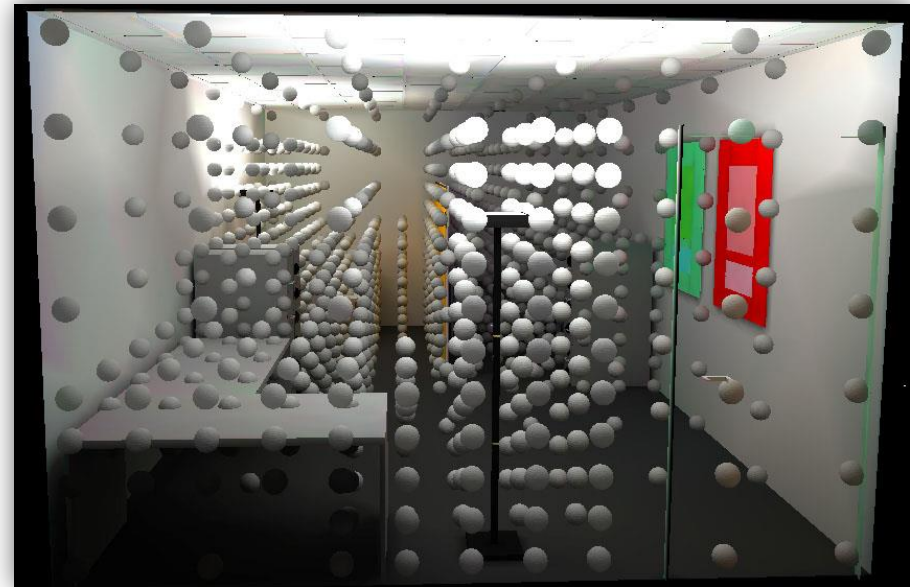
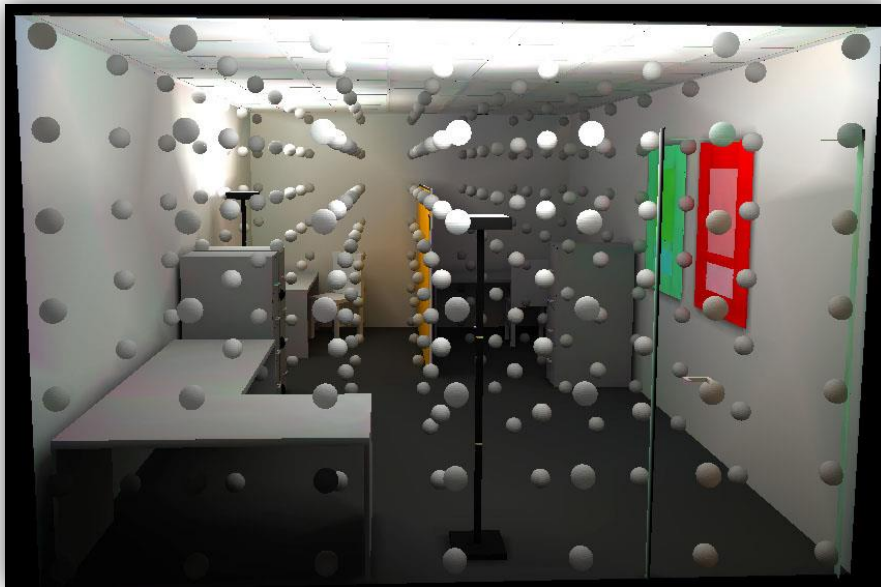


<http://www.game-tech.com/Talks/SkinRendering.pdf>

SH und Irradiance Volumes



- ▶ eine weitere wichtige Anwendung von SH sind Irradiance Volumes
 - ▶ für viele Punkte im Raum (meist auf einem regelmäßigen Gitter oder in einem Octree) wird das einfallende Licht (Irradiance) gespeichert
 - ▶ richtungsabh. Irradiance-Funktion $E(\omega) = \int_{\Omega} L(\omega_i) \langle \omega, \omega_i \rangle^+ d\omega_i$ an diesen Punkten wird durch Spherical Harmonics dargestellt
 - ▶ Vorteil: wenige Koeffizienten bei „glatten“ Funktionen, die Möglichkeit das Licht zu interpolieren und schnelles Nachschlagen

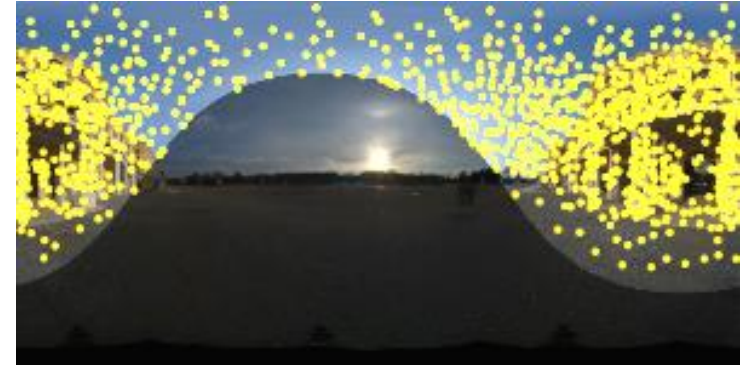


Bilder: The Irradiance Volume, Gene S. Greger, MSc Thesis

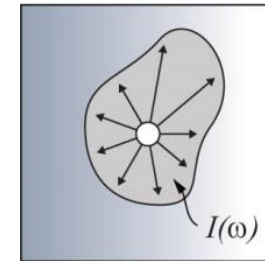
Vielfältige Anwendungen von SH



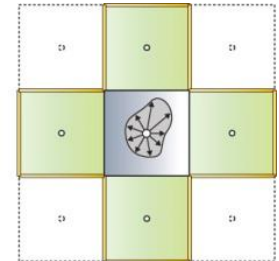
- ▶ Importance Sampling von Environment Maps



- ▶ Repräsentation von Radiance-Verteilungen (Light Propagation Volumes)



source cell



propagation along axial directions

- ▶ Frequenzanalyse (siehe u.a. <https://cseweb.ucsd.edu/~ravir/>)
- ▶ u.v.m.

PRT: spiegelnder (glossy) Transfer

- ▶ bisher: nur diffuser Transfer
 - ▶ das reflektierte Licht einer diffusen Fläche ist unabhängig von der Betrachtungsrichtung
 - ▶ deshalb kann direkt eine Transferfunktion „ $L_i(\omega) \rightarrow L_r$ “ angegeben werden
- ▶ bei spiegelnden Flächen muss am Ende eine Auswertung abh. von der Blickrichtung stehen



PRT: spiegelnder (glossy) Transfer



Grundidee: beliebige BRDF, direkte verschattete Beleuchtung

- ▶ Beleuchtung durch eine EnvMap $L(\omega_i)$
- ▶ Sichtbarkeitsfunktion $V(\mathbf{x}, \omega_i)$
- ▶ reflektiertes Licht am Oberflächenpunkt \mathbf{x}

$$L_r(\mathbf{x}, \omega_r) = \int_{\Omega} \underbrace{f_r(\omega_i, \mathbf{x}, \omega_r)}_{\text{BRDF}} \cdot \underbrace{V(\mathbf{x}, \omega_i) \max(0, \cos \theta_i)}_{=: L_i(\mathbf{x}, \omega_i)} L(\omega_i) d\omega_i$$

projiziere BRDF in Spherical Harmonics: $f_{\mathbf{x}, \omega_r}(\omega_i) = f_r(\omega_i, \mathbf{x}, \omega_r)$

- ▶ mit $f_i \approx \frac{4\pi}{N} \sum_{j=1}^N f_{\mathbf{x}, \omega_r}(\omega_j) y_i(\omega_j)$
- ▶ erlaubt schnelle Berechnung von $\int_{\Omega} f_{\mathbf{x}, \omega_r}(\omega_i) \cdot L_i(\mathbf{x}, \omega_i) d\omega_i$
- ▶ aber woher bekommt man $L_i(\mathbf{x}, \omega_i)$? ...mit Interreflexion?

PRT: spiegelnder (glossy) Transfer

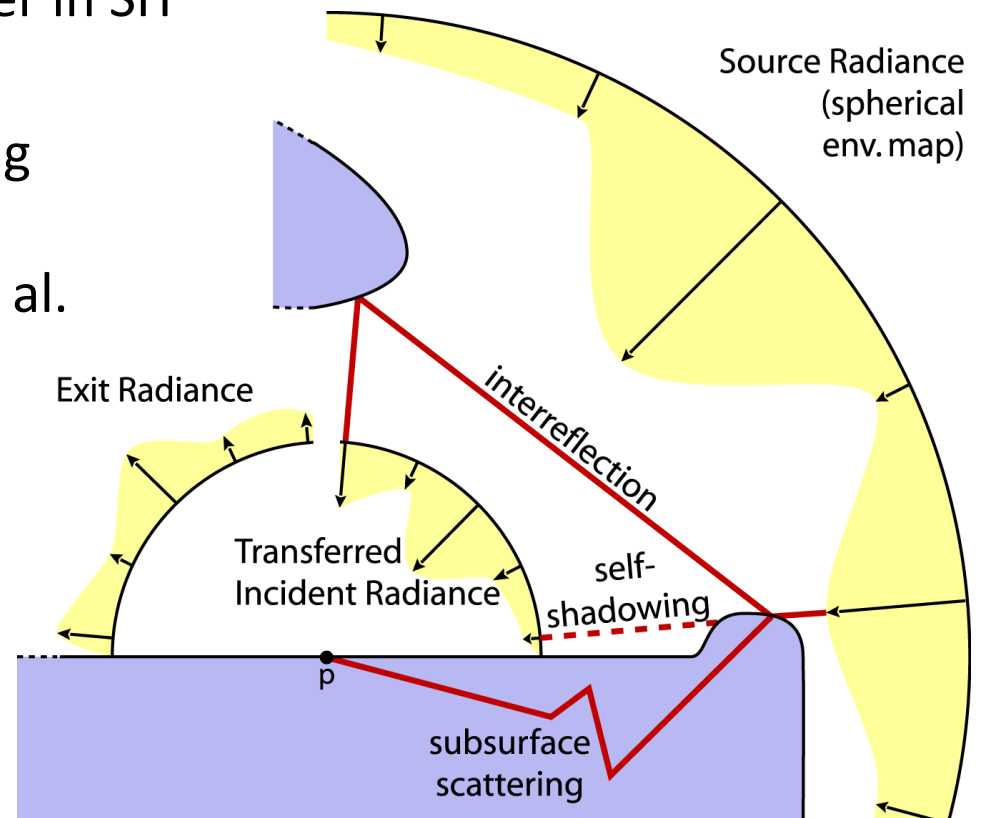
- ▶ bisher: nur diffuser Transfer
 - ▶ das reflektierte Licht einer diffusen Fläche ist unabhängig von der Betrachtungsrichtung
 - ▶ deshalb kann direkt eine Transferfunktion „ $L_i(\omega) \rightarrow L_r$ “ angegeben werden
- ▶ bei spiegelnden Flächen muss am Ende eine Auswertung abh. von der Blickrichtung stehen
- ▶ das erfordert einen aufwändigeren Ansatz:
 - ▶ wir müssen aus dem einfallenden Licht $L(\omega_i)$ das zu einem Punkt transferierte (= an einem Punkt ankommende) Licht berechnen, also $L_i(x, \omega_i)$
 - ▶ und anschließend dort die BRDF auswerten



PRT: spiegelnder (glossy) Transfer



- ▶ transformiere einfallendes Licht in transferiertes Licht
 - ▶ einfallendes Licht wird nach wie vor in SH dargestellt, also mit $\{l_i\}$
 - ▶ eine **Koeffizientenmatrix** transformiert $\{l_i\}$ in ankommendes Licht an einem Oberflächenpunkt, „globale \rightarrow lokal einfallende Radiance“
- ▶ Grundidee: finde Darstellung, die die Berechnung von $L_i(\mathbf{x}, \boldsymbol{\omega}_i)$ aus $\{l_i\}$ erlaubt \rightarrow projiziere diese wieder in SH
- ▶ Details: Precomputed Radiance Transfer for Real-Time Rendering in Dynamic, Low-Frequency Lighting Environments, Sloan et al.



PRT: spiegelnder (glossy) Transfer



Beispiel (Transfer nur für direkte Beleuchtung und Verschattung)

- ▶ einfallende Radiance an einem Punkt \mathbf{x} ist $L_{in}(\mathbf{x}, \boldsymbol{\omega}) = L_i(\boldsymbol{\omega})V(\mathbf{x}, \boldsymbol{\omega})$
- ▶ wir können die Beleuchtung L_i natürlich wieder mit SH darstellen

$$L_{in}(\mathbf{x}, \boldsymbol{\omega}) \approx \left(\sum_{j=1}^{n^2} l_j y_j(\boldsymbol{\omega}) \right) V(\mathbf{x}, \boldsymbol{\omega}) = \sum_{j=1}^{n^2} l_j y_j(\boldsymbol{\omega}) V(\mathbf{x}, \boldsymbol{\omega})$$

- ▶ die Transfermatrix $T = [T_{j,i}^{\mathbf{x}}]$ erhalten wir durch erneutes Projizieren von $L_{in}(\mathbf{x}, \boldsymbol{\omega})$ in die SH-Basis

$$L_{in}(\mathbf{x}, \boldsymbol{\omega}) \approx \sum_{i=1}^{n^2} l_i^{\mathbf{x}} y_i(\boldsymbol{\omega}) \quad \text{mit} \quad l_i^{\mathbf{x}} = \int_{\Omega} L_{in}(\mathbf{x}, \boldsymbol{\omega}) y_i(\boldsymbol{\omega}) d\boldsymbol{\omega}$$

$$l_i^{\mathbf{x}} = \int_{\Omega} \sum_{j=1}^{n^2} l_j y_j(\boldsymbol{\omega}) V(\mathbf{x}, \boldsymbol{\omega}) y_i(\boldsymbol{\omega}) d\boldsymbol{\omega} = \sum_{j=1}^{n^2} l_j \underbrace{\int_{\Omega} y_j(\boldsymbol{\omega}) V(\mathbf{x}, \boldsymbol{\omega}) y_i(\boldsymbol{\omega}) d\boldsymbol{\omega}}_{T_{j,i}^{\mathbf{x}}}$$

- ▶ $T_{j,i}^{\mathbf{x}}$: „wir trägt der j -te SH Koeffizient der Beleuchtung zum i -ten Koeffizient der lokal-einfallenden Radiance bei“

PRT: Beispiele

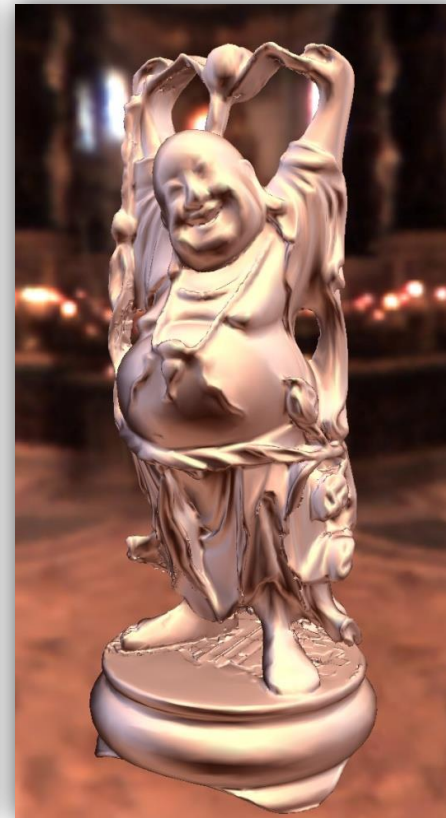
- ▶ dadurch sind moderat glänzende BRDFs möglich
- ▶ aufgrund der erhöhten Koeffizientenanzahl wenig(er) praktikabel
(Transfermatrix pro Vertex; mehr Bänder als im diffusen Fall benötigt:
 n Bänder $\rightarrow n^2$ Basisfunktionen $\rightarrow n^2 \times n^2$ Transfermatrix)



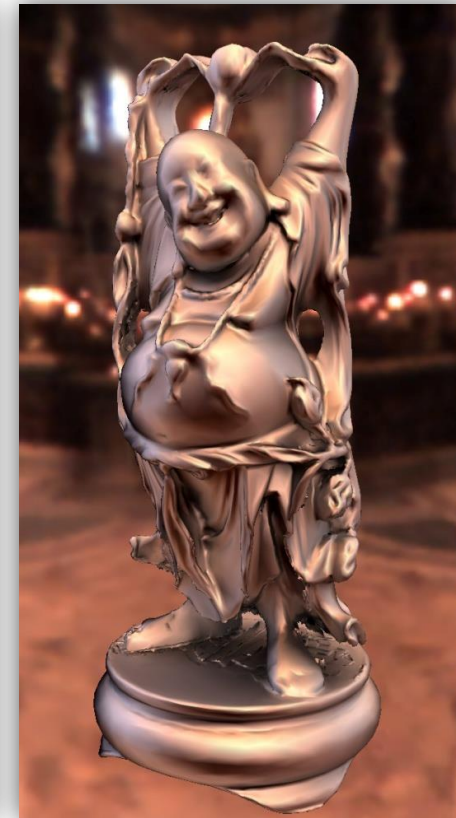
diffus



diffus, verschattet
mit Interreflexion



glossy



glossy, verschattet
mit Interreflexion

PRT: diffus vs. glossy, 0/1/2 bounces



- ▶ Reduktion der Koeffizienten durch Hauptkomponentenanalyse und Clustering (Clustered Principal Components for Precomputed Radiance Transfer, Sloan et al.)

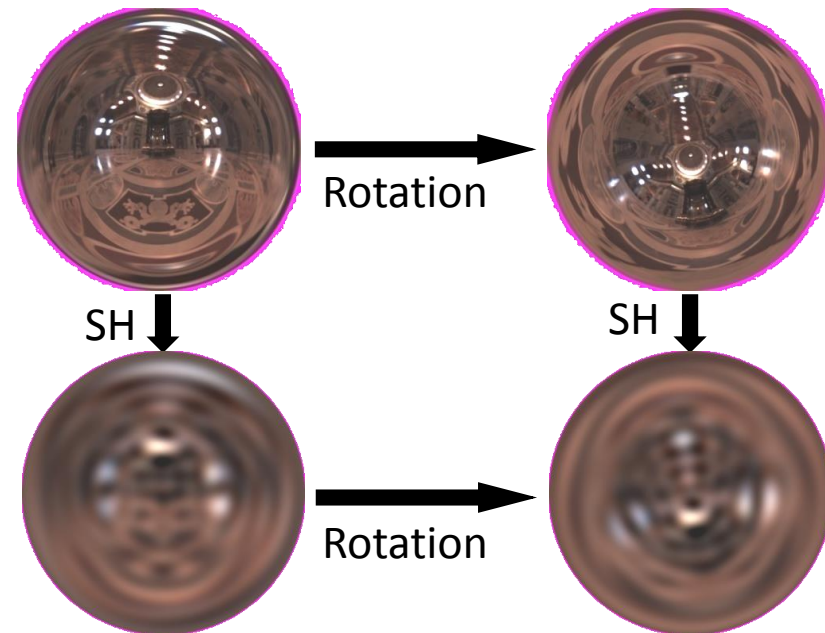


Eigenschaften von Spherical Harmonics



Rotationsinvarianz

- ▶ SH Rotationen sind für allgemeine Rotationen meist zu aufwändig
- ▶ Alternative: Euler-Rotation, z.B. um die Achsen ZYZ
 - ▶ die Rotation um Y wird noch durch $X(90^\circ)ZX(-90^\circ)$ ersetzt
→ damit ist nur eine Rotationsmatrix um Z notwendig
 - ▶ diese Rotationsmatrizen sind dünn besetzt (und teils sind die Basisfunktionen rotationssymmetrisch)
- ▶ wenn sinnvoll macht man sich zu nutze, dass SH rotationsinvariant sind
 - ▶ SH-Rotation und Rotation der Eingabefunktion bei der Projektion liefern dasselbe Resultat
 - ▶ $l_{i,R} = Ml_i = \int_{\Omega} L_{in}(R(\omega))y_i(\omega)d\omega$



Eigenschaften von Spherical Harmonics



- ▶ PRT und SH werden i.d.R. eingesetzt für „low-frequency lighting“, d.h. niederfrequente Beleuchtung und diffuse/moderat spiegelnde BRDFs
- ▶ meist separiert man hoch- und niederfrequente Beleuchtung, z.B. Sonnenlicht als direktionale Lichtquelle, Himmelslicht mittels SH
- ▶ Rekonstruktion hoher Frequenzen benötigt viele SH Bänder, dementsprechend mehr Speicher
- ▶ weiteres Problem: Überschwinger oder „Ringing“

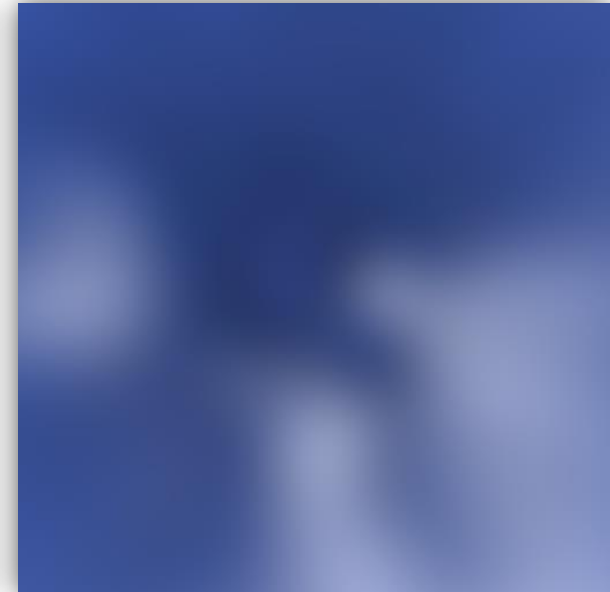
original



ungefiltert: Ringing

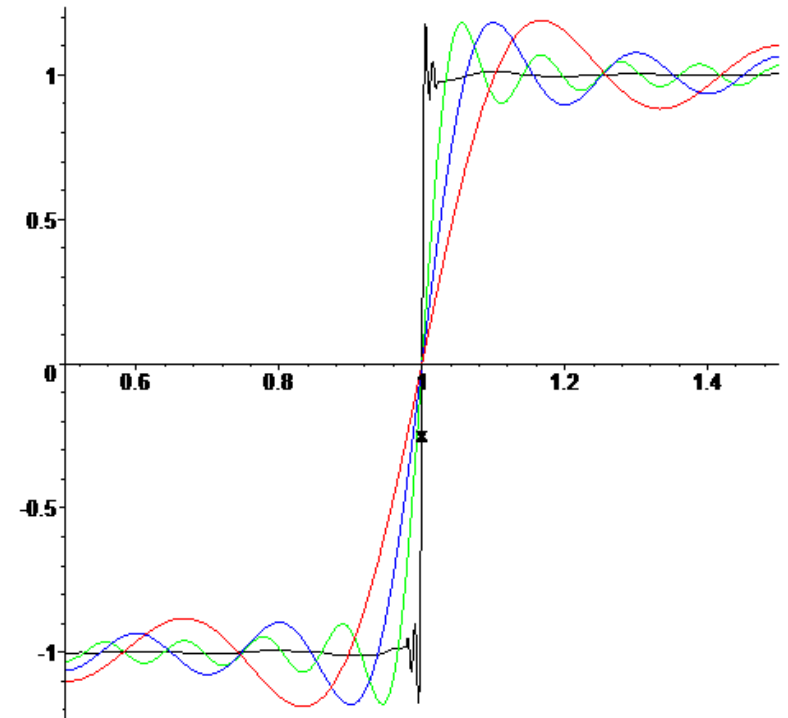


gefiltert



Überschwinger

- ▶ mit glatten Basisfunktionen können Diskontinuitäten nicht dargestellt werden (vgl. Darstellung einer Rechteckfunktion durch Sinusfunktionen)
- ▶ Diskontinuitäten in diskreten EnvMaps und durch Sichtbarkeitsfunktion
- ▶ Überschwinger treten auch bei nicht unendlichen-hohen Frequenzen auf
- ▶ Beispiel: Rechteck-Funktion
 - ▶ Oszillationen nahe der Diskontinuität, egal wie viele Terme man verwendet!
 - ▶ Stärke des Überschwingers ist konstant (hier ca. 18% bei der Fourierreihe)

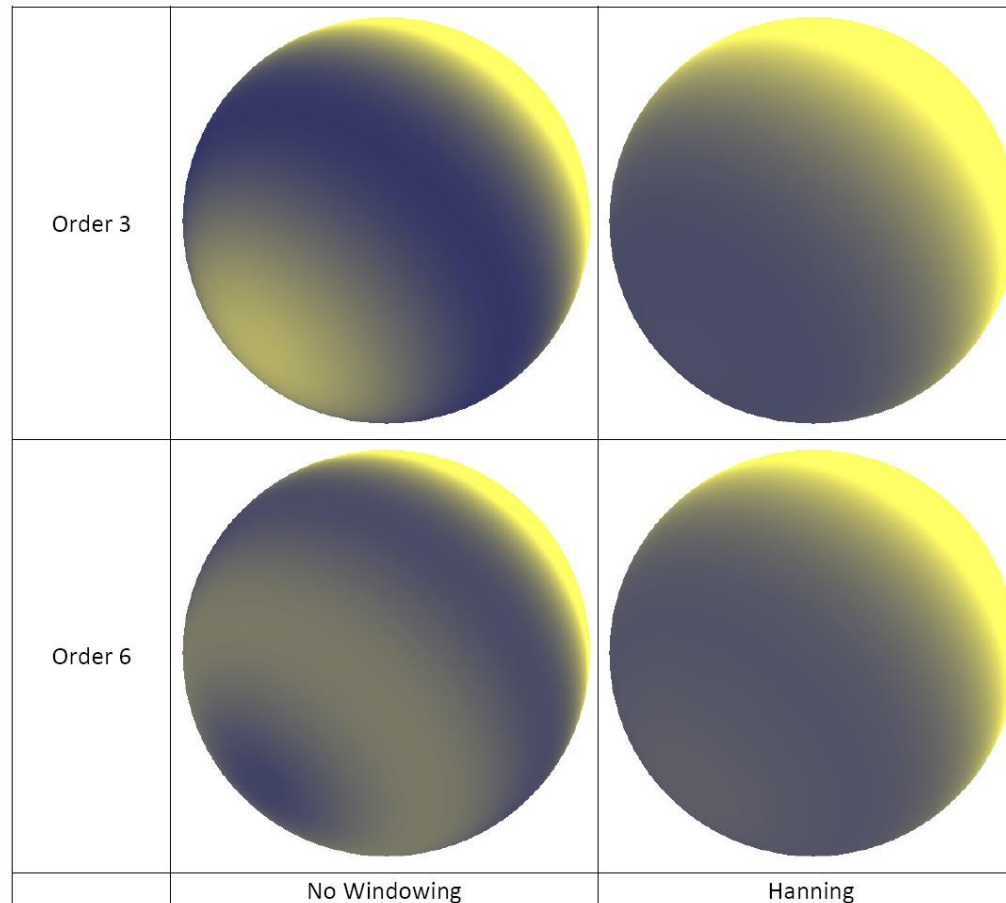


Eigenschaften von Spherical Harmonics



Artefakte durch Überschwinger

- ▶ Beispiel: gelbes direktionales Licht und weißes Umgebungslicht
→ Überschwinger verursachen blaue Farbe
- ▶ Lösung: Unterdrückung durch Reduktion der Beiträge höherer Bänder



Gibbsches Phänomen

- ▶ bisher: SH-Projektion von Funktionen mit Diskontinuitäten –
Überschwinger, deutlicher mit zunehmender Anzahl von Bändern
- ▶ aber selbst bei stetigen Funktionen treten **Probleme durch numerische Integration** bei der Projektion auf
- ▶ Beispiel: konstante Funktion

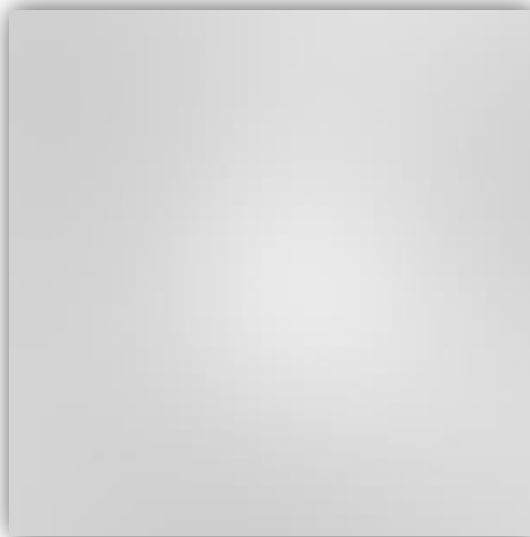
$$f(\boldsymbol{\omega}) = 1 \Rightarrow \int_{\Omega} y_i(\boldsymbol{\omega}) d\boldsymbol{\omega} = \begin{cases} 2\sqrt{\pi} & \text{falls } i = 1 \\ 0 & \text{sonst} \end{cases}$$

- ▶ bei der Projektion verschwinden alle Koeffizienten bis auf f_1 , d.h.
 $f(\boldsymbol{\omega}) = 1$ wird schon ab dem ersten Band ($n = 0$) perfekt rekonstruiert
- ▶ ...leider nur bei symbolischer Bestimmung der Integrale...

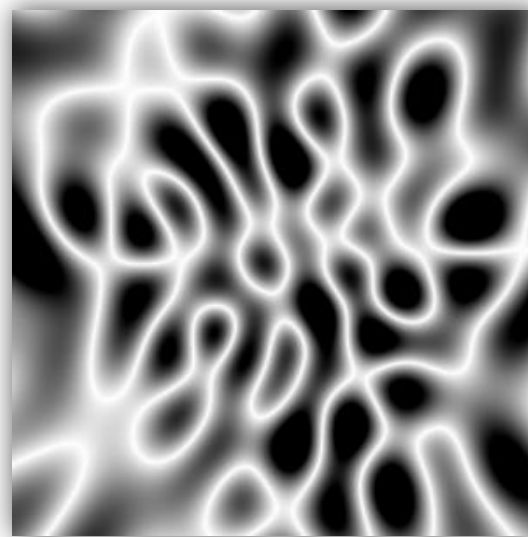
Gibbsches Phänomen



- ▶ bei der MC-Integration sind die Koeffizienten f_i ($i > 1$) i.d.R. klein und der Fehler wird mit zunehmender Anzahl Abtastpunkte kleiner
- ▶ trotzdem: kritisch, wenn viele SH Bänder verwendet werden
 - ▶ SH-Funktionen hoher Bänder sind hochfrequent und Fehler führen schnell zu falschen (betragsmäßig zu großen) Koeffizienten

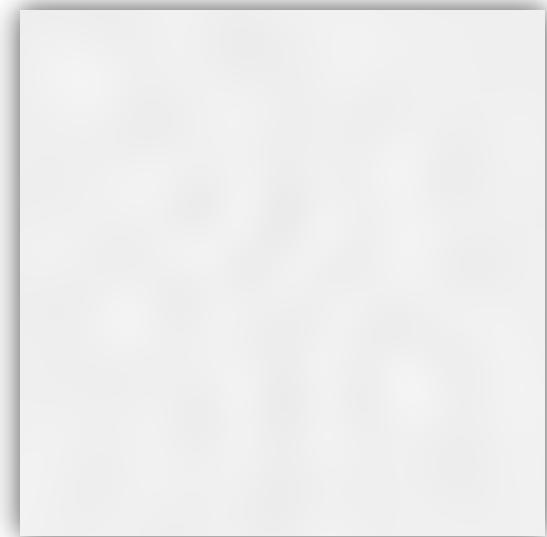


5 Bänder



26 Bänder

10.000 Abtastpunkte



26 Bänder

1.000.000 Abtastpunkte

- ▶ **Lösung: erniedrige Koeffizienten der Basisfunktionen höherer Bänder (= Windowing)**

Ausblick Precomputed Radiance Transfer



General BRDFs



[Kautz02]



[Lehtinen03]



[Sloan03]



[Ramamoorthi02]

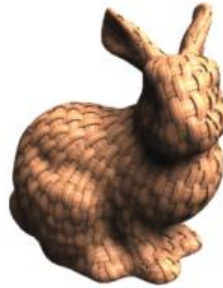


[Ramamoorthi01]



[Sloan02]

Texture Detail



[Sloan03]

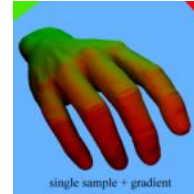


[Sloan05]



[Sloan06]

Non-distant lighting, Shadowing, scattering,...



[Annen04]



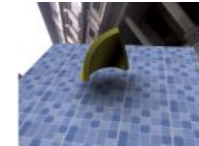
[Green07]



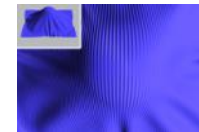
[Sun05]



[Oat05]



[Wang07]

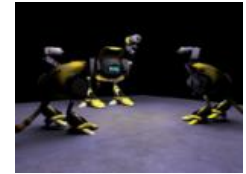


[Han07]



[Habel08]

Dynamic Scenes



[Zhou05]



[Ren06]



[Sloan07]



[Pan07]

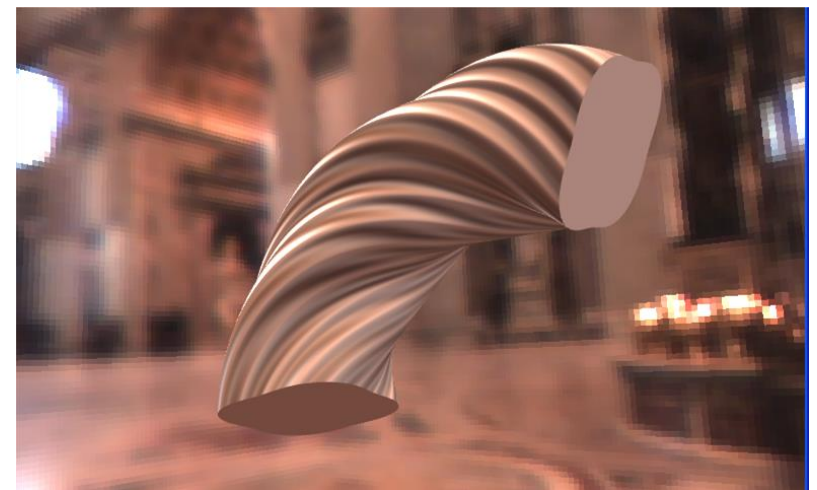
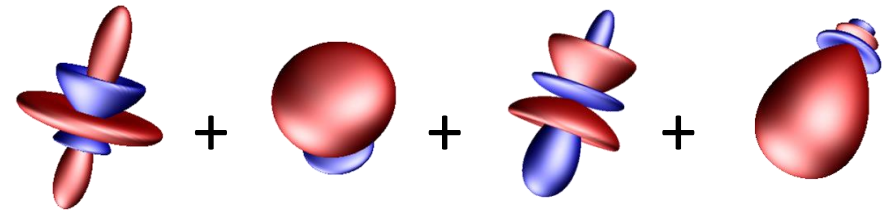
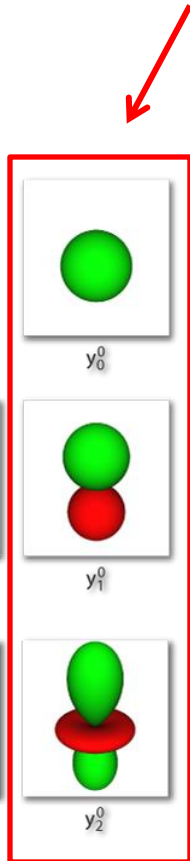
Ausblick Precomputed Radiance Transfer



▶ Local Deformable PRT

- ▶ lokale, niederfrequente PRT Effekte, z.B. Verdeckung in einer Displacement Map
- ▶ approximiere Transfervektor mit Summe von Zonal Harmonics (einfach rotierbar)

$$R_{SH} = \begin{bmatrix} 1 & 0 & 0 & 0 & 0 & 0 & 0 & 0 & 0 & \dots \\ 0 & X & X & X & 0 & 0 & 0 & 0 & 0 & \dots \\ 0 & X & X & X & 0 & 0 & 0 & 0 & 0 & \dots \\ 0 & X & X & X & 0 & 0 & 0 & 0 & 0 & \dots \\ 0 & 0 & 0 & 0 & X & X & X & X & X & \dots \\ 0 & 0 & 0 & 0 & X & X & X & X & X & \dots \\ 0 & 0 & 0 & 0 & X & X & X & X & X & \dots \\ 0 & 0 & 0 & 0 & X & X & X & X & X & \dots \\ 0 & 0 & 0 & 0 & X & X & X & X & X & \dots \\ \vdots & \ddots \end{bmatrix}$$

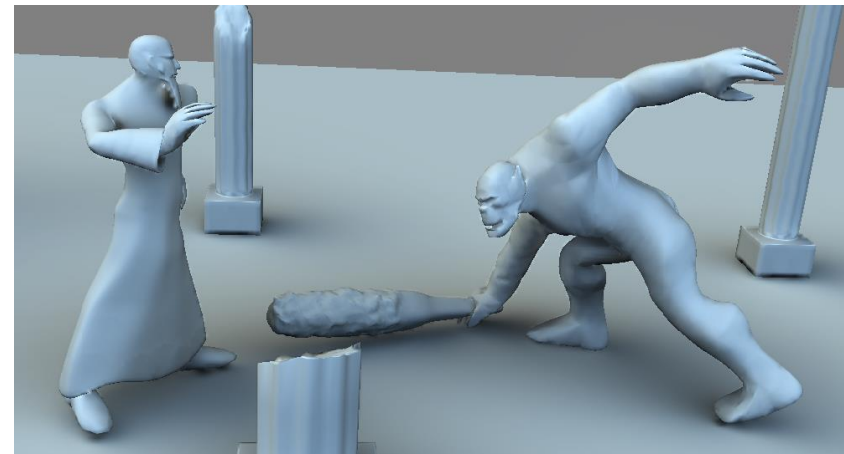
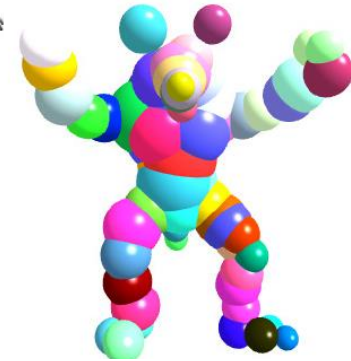


Ausblick Precomputed Radiance Transfer



SH in dynamischen Szenen

- ▶ „weiche“, globale Beleuchtung
 - ▶ niederfrequente Umgebungsbeleuchtung
 - ▶ sphärische Proxies statt tatsächlicher Geometrie
- ▶ erlaubt weiche Schatten mit sog. SH Exponentiation [Ren06]
- ▶ Schatten und indirekte Beleuchtung im Bildraum [Sloan07]



Ausblick Precomputed Radiance Transfer



Triple Product Integrals

- ▶ Ziel: hochfrequente BRDFs und Beleuchtung
- ▶ 6D Problem: Einfalls- und Ausfallsrichtung, sowie Oberflächenposition

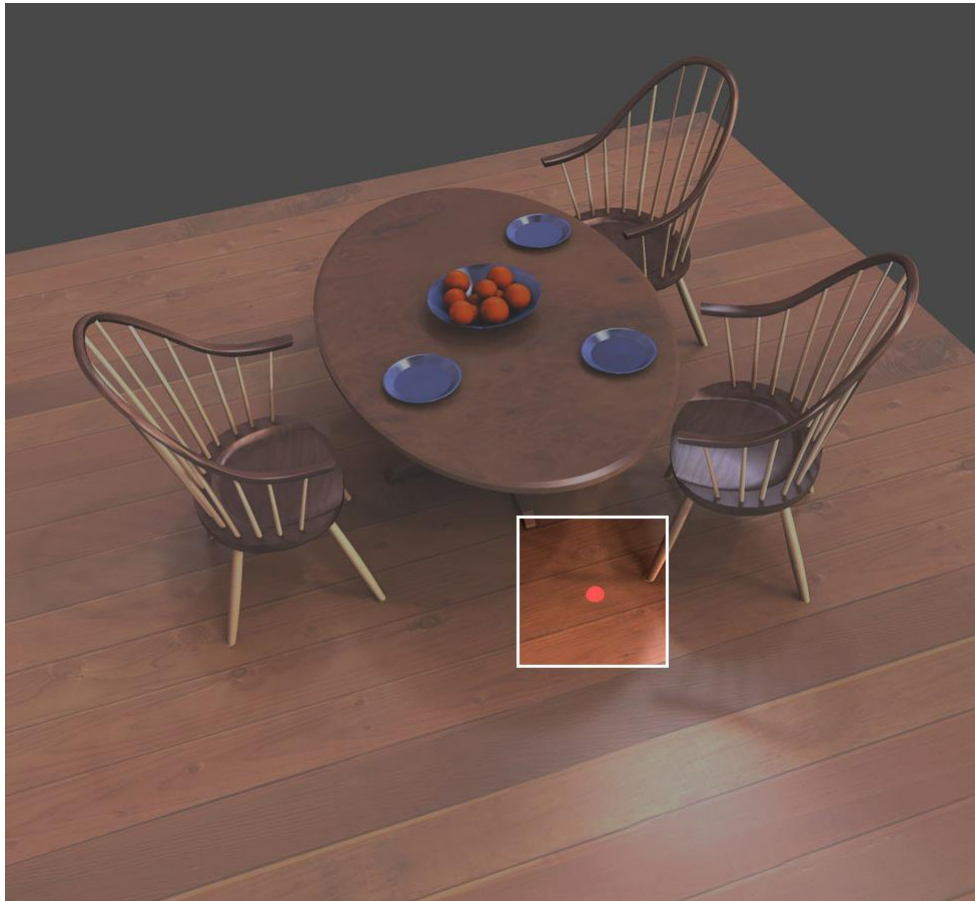


Ausblick Precomputed Radiance Transfer



Triple Product Integrals

- ▶ Vorbereitung: Sichtbarkeitsfunktion $V(\mathbf{x}, \boldsymbol{\omega}_i)$ pro Vertex
- ▶ BRDF pro Oberflächenpunkt und ausgehende Richtung $\boldsymbol{\omega}_r$
- ▶ bis zu einigen Hundert Megabyte Daten



Triple Product Integrals

- ▶ ... aus BRDFs, Beleuchtung durch eine EnvMap $L(\omega_i)$ und Sichtbarkeitsfunktion $V(\mathbf{x}, \omega_i)$
- ▶ Berechnung des reflektierten Lichts am Oberflächenpunkt \mathbf{x}

$$L_r(\mathbf{x}, \omega_r) = \int_{\Omega} \underbrace{f_r(\omega_i, \mathbf{x}, \omega_r) \max(0, \cos \theta_i)}_{\text{BRDF inkl. Kosinusterm}} \cdot \underbrace{V(\mathbf{x}, \omega_i)}_{\text{Sichtbarkeit}} \cdot \underbrace{L(\omega_i)}_{\text{Beleuchtung}} d\omega_i$$

- ▶ in welcher Basis stellt man die Funktionen dar?
 - ▶ die Berechnung reduziert sich nicht einfach auf ein Skalarprodukt
 - ▶ Vergleich Basisfkt.: <http://graphics.stanford.edu/papers/allfreqmat/>
 - ▶ Beobachtung: bei geeigneter Basis sind teure Triple Products nur dort notwendig, wo sich die Sichtbarkeitsfunktion ändert (siehe <http://www.cs.huji.ac.il/labs/cglab/projects/lap/>)

- ▶ Spherical Harmonic Lighting: The Gritty Details

<http://www.research.scea.com/gdc2003/spherical-harmonic-lighting.pdf>

- ▶ Stupid Spherical Harmonics Tricks

www.ppsloan.org/publications/

- ▶ einige „moderne“ Varianten

<http://research.microsoft.com/en-us/um/people/johnsny/>